

UNIVERSIDADE DE SÃO PAULO

ESCOLA DE ENGENHARIA DE LORENA

ALEXANDRE HENRIQUE CONSTANTINO LEAL

**Desenvolvimento de programas em Python para auxiliar a extração e
visualização dos dados de compostos binários metálicos**

Lorena

2021

ALEXANDRE HENRIQUE CONSTANTINO LEAL

**Desenvolvimento de programas em Python para auxiliar a extração e
visualização dos dados de compostos binários metálicos**

Trabalho de Graduação apresentado à Escola de Engenharia de Lorena da Universidade de São Paulo como requisito parcial para a conclusão do curso de Engenharia Física.

Orientador: Prof. Dr. Luiz Tadeu Fernandes
Eleno

Lorena

2021

AGRADECIMENTOS

Aos meus avós que tornaram este momento possível, sempre me incentivando e ajudando. Especialmente ao meu avô que sempre me ajudou ao longo de toda a minha jornada.

Ao Prof. Dr. Luiz Tadeu Fernandes Eleno pela constante orientação e ajuda ao longo do desenvolvimento do trabalho.

A todos os professores da EEL, que com muita paciência e dedicação participaram ativamente da minha formação

A todos os amigos que de alguma forma fizeram parte dessa jornada eu agradeço com um forte abraço.

Aos meus amigos de faculdade por todo o apoio e ajuda durante todo o período acadêmico.

À minha namorada por sua compreensão, presença e incansável apoio ao longo da elaboração deste trabalho.

“Você não pode ensinar nada a ninguém, mas
pode ajudar a pessoas a descobrirem por si
mesmas.”

Galileu Galilei

RESUMO

LEAL, AHC. **Desenvolvimento de programa em Python para auxiliar a extração e visualização dos dados de compostos binários metálicos.** 2021. Número de folhas 88f. Monografia – Escola de Engenharia de Lorena, Universidade de São Paulo, Lorena, 2021.

A quantidade de dados presente no mundo vem aumentando exponencialmente nos últimos anos e, cada vez mais informações estão presentes nos servidores da internet, incluindo informações e dados dos materiais e suas características intrínsecas. Utilizando a plataforma *Web* da *Materials Project* e sua API, a monografia teve por objetivo criar um programa de extração das informações dos compostos binários metálicos de alumínio, boro e silício com os demais trinta metais de transição e, em seguida, gerar as visualizações dos parâmetros físicos desejados. Para isso, dois programas principais foram feitos em Python, desenvolvidos para a extração, geração da base de dados extraída dos compostos metálicos, acesso a base de dados criada e geração das visualizações das propriedades desejadas em gráficos. Os programas produzidos permitem uma boa extração dos dados e visualização de suas propriedades elásticas. Um dos resultados obtidos foi a relação de eficiência entre a extração via API e a extração via Web Scraping, utilizando a API foi possível extrair os dados em média de forma 441,6 vezes mais rápido via API. Utilizando os programas desta monografia como modelos é possível, com alguns ajustes leves, extrair as informações de quaisquer compostos binários que for desejável e, em seguida, gerar visualizações de suas novas bases de dados, sendo um ótimo começo para outros projetos com análise dos dados dos compostos binários da plataforma.

Palavras-chave: Python. Programa. API. Compostos Binários. *Materials Project*.

ABSTRACT

LEAL, AHC. Software development in Python for extract and visualize data of metallic binary compounds.2021. Number of sheets 88. Monograph – Escola de Engenharia de Lorena, Universidade de São Paulo, Lorena, 2021.

The amount of data present in the world has been increasing exponentially in recent years, and more and more information is present on internet servers, including information and data on materials and their intrinsic characteristics. Using the Materials Project web platform and its API, the monograph aimed to create a program to extract information from the metallic binary compounds of aluminum, boron and silicon with the other thirty transition metals and then generate the parameter views desired physical properties, belonging to the database generated from the data extracted from the platform. For this, two main programs were made using Python, developed for the extraction, generation of the metallic compounds database, access of the created database and generation of the visualizations of the desired properties. The produced programs allow a good data extraction and visualization of its elastic properties. One of the results obtained was the efficiency ratio between extraction via API and extraction via Web Scraping, using the API it was possible to extract data on average 441.6 times faster via API. Using the programs in this monograph as models it is possible, with some light adjustments, to extract information from any binary compounds you desire and then generate its visualizations from its new databases, making it a great start for other projects with data analysis platform binary compounds.

Keywords: Python. Software. API. Binary Compounds. *Materials Project*.

LISTA DE FIGURAS

Figura 1 – Interface inicial referente as informações iniciais do programa.....	39
Figura 2 – Selecionando o elemento e iniciando a extração da API	39
Figura 3 – Geração do <i>Dataframe</i> com os dados da <i>MAPI</i> utilizando a <i>Pymatgen</i> e a <i>Pandas</i>	40
Figura 4 - <i>DataFrame</i> com as novas colunas de <i>Method</i> , <i>elasticity</i> , <i>spacegroup</i> e seus respectivos valores.....	41
Figura 5 - <i>DataFrame</i> com as novas colunas de <i>Method</i> , <i>elasticity</i> , <i>spacegroup</i> e seus respectivos valores.....	41
Figura 6 - <i>DataFrame</i> com as novas colunas de <i>Method</i> , <i>elasticity</i> , <i>spacegroup</i> e seus respectivos valores.....	41
Figura 7 – Interface para rodar o <i>Web Scraping</i>	42
Figura 8 – Inputs do <i>Web Scraping</i>	42
Figura 9 – Login com Google utilizado pelo <i>Web Scraping</i>	43
Figura 10 – Programa na página inicial, aguardando confirmação para prosseguir.....	43
Figura 11 – Programa aguardando a validação de que está na página principal do <i>Materials Project</i> e pode prosseguir com o <i>Web Scraping</i>	44
Figura 12 – Extração dos dados via <i>Web Scraping</i>	44
Figura 13 – Finalização da execução do <i>Web Scraping</i> e geração da base de dados local	45
Figura 14 – DataFrame final com os valores de KVRH e GVRH obtidos por ML via <i>Web Scraping</i>	45
Figura 15 – Coluna Decomposes_To obtida via <i>Web Scraping</i> e colunas E_Young e Coef_Poisson calculadas com os valores extraídos de KVRH e GVRH obtidos por DFT ou ML.	46
Figura 16 – Aba gerada a partir do primeiro <i>DataFrame</i> extraído da API	46
Figura 17 – Aba referente ao <i>DataFrame</i> transformado, com os valores das colunas <i>spacegroup</i> e <i>elasticity</i> explodidos em mais colunas	47
Figura 18 – Aba referente ao <i>DataFrame</i> completo com a decomposição do composto e seus valores previstos de KVRH e GVRH extraídos via <i>Web Scraping</i>	47
Figura 19 – Aba referente ao <i>DataFrame</i> final com as colunas de Módulo de Young e Coeficiente de Poisson também calculados	48
Figura 20 – Interface inicial do programa gerador de visualizações aguardando o elemento químico desejado para análise	49

Figura 21 – Fim da execução do programa gerado por listas de tamanho diferentes	49
Figura 22 – Primeiro <i>DataFrame</i> “impresso” na tela com as informações de energia de formação para os compostos binários de 25% de alumínio.	50
Figura 23 – Gráficos das propriedades dos compostos binários com 75% de alumínio.....	51
Figura 24 – Gráficos das propriedades dos compostos binários com 66% de boro.....	52
Figura 25 – Gráficos das propriedades dos compostos binários com 25% de silício	53
Figura A-1 Criando o ambiente virtual do programa.....	58
Figura A-2 Instalando o pacote conda, com o gerenciador de pacotes pip o Python e alguns extras	58
Figura A-3 Ativando o ambiente de trabalho Figura A-4 Instalando o Jupyter Notebook	59
Figura H-1 <i>DataFrames</i> de energia de formação para os compostos binários de Al com os metais de transição nas proporções de 25%, 33%, 50%, 66% e 75% da esquerda para a direita.	79
Figura H-2 <i>DataFrames</i> de Módulo de Young para os compostos binários de Al com os metais de transição nas proporções de 25%, 33%, 50%, 66% e 75% da esquerda para a direita.	79
Figura H-3 – <i>DataFrames</i> do Coeficiente de Poisson para os compostos binários de Al com os metais de transição nas proporções de 25%, 33%, 50%, 66% e 75% da esquerda para a direita.	80
Figura H-4 – <i>DataFrames</i> do Módulo de Volume (KVRH) para os compostos binários de Al com os metais de transição nas proporções de 25%, 33%, 50%, 66% e 75% da esquerda para a direita.	80
Figura H-5 – <i>DataFrames</i> do Módulo de Cisalhamento (GVRH) para os compostos binários de Al com os metais de transição nas proporções de 25%, 33%, 50%, 66% e 75% da esquerda para a direita.	81
Figura I-1 - Gráficos das propriedades dos compostos binários com 33% de silício	82
Figura I-2 - Gráficos das propriedades dos compostos binários com 50% de silício	82
Figura I-3 - Gráficos das propriedades dos compostos binários com 66% de silício	83
Figura I-4 - Gráficos das propriedades dos compostos binários com 75% de silício	83
Figura I-5 - Gráficos das propriedades dos compostos binários com 25% de alumínio	84
Figura I-6 - Gráficos das propriedades dos compostos binários com 33% de alumínio	84

Figura I-7 - Gráficos das propriedades dos compostos binários com 50% de alumínio	85
Figura I-8 - Gráficos das propriedades dos compostos binários com 66% de alumínio	85
Figura I-9 - Gráficos das propriedades dos compostos binários com 25% de boro	86
Figura I-10 - Gráficos das propriedades dos compostos binários com 33% de boro	86
Figura I-11 - Gráficos das propriedades dos compostos binários com 50% de boro	87
Figura I-12 - Gráficos das propriedades dos compostos binários com 75% de boro	87

LISTA DE TABELAS

Tabela 1 - Relação da simetria do sistema cristalino com o número de constantes elásticas independentes.....	21
--	----

LISTA DE SIGLAS

AMT	<i>Alumineto de Metal de Transição</i>
API	<i>Application Programming Interface</i>
ETL	<i>Extract Transform Load</i>
CSV	<i>Comma-Separated Values</i>
IDE	<i>Integrated Development Environment</i>
DFT	<i>Density Functional Theory</i>
GGA	<i>Generalized Gradient Approximation</i>
JSON	<i>JavaScript Object Notation</i>
SQL	<i>Structured Query Language</i>
HTML	<i>HyperText Markup Language</i>
URL	<i>Uniform Resource Locator</i>
MAPI	<i>Materials Application Programming Interface</i>
ML	<i>Machine Learning</i>
PDF	<i>Portable Document Format</i>
REST	<i>REpresentational State Transfer</i>
VASP	<i>Vienna Ab Initio Simulation Package</i>

LISTA DE SÍMBOLOS

σ	Tensão
ε	Deformação
E	Módulo de elasticidade/Young
C	Constante de rigidez elástica
s	Constante de complacência
E_f	Energia de formação
K	Módulo volumétrico
K_V	Módulo volumétrico de Voigt
K_R	Módulo volumétrico de Reuss
K_{VRH}	Módulo volumétrico de Voigt-Reuss-Hill
G	Módulo de cisalhamento
G_V	Módulo de cisalhamento de Voigt
G_R	Módulo de cisalhamento de Reuss
G_{VRH}	Módulo de cisalhamento de Voigt-Reuss-Hill
ν	Coeficiente de Poisson
M	Módulo longitudinal
λ	Primeiro parâmetro de Lamé
μ	Segundo parâmetro de Lamé
R_G	Razão de Pugh
P_C	Pressão de Cauchy
ζ	Parâmetro de deslocamento interno de Kleinman
A_L	Anisotropia elástica

SUMÁRIO

1	INTRODUÇÃO	17
1.1	Motivação	17
1.2	Justificativa.....	18
1.3	Organização do trabalho.....	18
2	FUNDAMENTAÇÃO TEÓRICA	19
2.1	Propriedades elásticas do material.....	19
2.1.1	Tensor elástico	19
2.1.2	Influência da simetria cristalina sobre o tensor elástico	21
2.1.3	Módulos elásticos de Voigt, Reuss e Hill.....	25
2.1.4	Módulo de Young (E).....	27
2.1.5	Coeficiente de Poisson isotrópico (ν).....	27
2.2	Density Functional Theory (DFT)	27
2.2.1	<i>Materials Project</i>	28
2.3	Energia de formação.....	28
2.4	Python	29
2.4.1	Bibliotecas, módulos e <i>Frameworks</i>	29
2.5	Application Programming Interface (API).....	31
2.6	Web Scraping	31
3	METODOLOGIA	33
3.1	Materiais e Tecnologias empregadas	33
3.1.1	Pacote Miniconda 3	33
3.1.2	IDE Jupyter Notebook	33
3.1.3	Chromedriver.....	33
3.1.4	Google Chrome	34
3.1.5	Materials Application Programming Interface (MAPI)	34
3.1.6	Python e suas bibliotecas	34
3.2	Métodos.....	35
3.2.1	Instalação do pacote Miniconda 3	35
3.2.2	Ambiente Virtual	35
3.2.3	Instalação do Jupyter Notebook e das bibliotecas	36
3.2.4	Importação das bibliotecas e definição de funções e variáveis	36
3.2.5	Extrator dos dados via API.....	36
3.2.6	Transformação dos dados	36

3.2.7	<i>Web Scraper</i> dos dados faltantes	37
3.2.8	Cálculo dos parâmetros desejados e da geração da base de dados local.....	37
3.2.9	Geração das visualizações.....	37
4	RESULTADOS E DISCUSSÃO.....	39
4.1	Extração dos dados via MAPI.....	39
4.2	Formatação do <i>DataFrame</i>	40
4.3	<i>Web Scraping</i> e planilha final	42
4.3.1	Geração da base de dados local.....	46
4.3.2	Geração de gráficos.....	48
5	CONCLUSÃO.....	54
REFERÊNCIAS		56
APÊNDICE A - Código de instalação do ambiente virtual e Jupyter Notebook		59
APÊNDICE B - Código ETL dos dados.....		61
APÊNDICE C - Código extrator dos dados da MAPI.....		64
APÊNDICE D - Código formatação do <i>DataFrame</i> gerado na extração da MAPI.....		65
APÊNDICE E - <i>Web Scraping</i> da dos valores de estabilidade.....		67
APÊNDICE F - Código do cálculo dos parâmetros e geração do arquivo como base de dados local.....		73
APÊNDICE G – Código de geração dos gráficos.....		74
APÊNDICE H – <i>DataFrames</i> das propriedades por composição dos compostos metálicos para o alumínio.....		80
APÊNDICE I –Gráficos das propriedades por composição dos compostos binários de alumínio, boro e silício com metais de transição		83

1 INTRODUÇÃO

Vivemos a era do Big Data! São gerados e coletados mais dados do que nós conseguimos processar. Esses dados as vezes são úteis e são armazenados em bases de dados que permitem acessar tais informações de uma maneira simples posteriormente (FIA, 2020). As APIs e os *Web Scrapings* são maneiras de extrair estes dados quando são advindos da internet. A evolução das APIs permitiu o compartilhamento dos dados de forma mais ágil e simples, possibilitando a extração de conjuntos de informações desejados via código.

A plataforma *Materials Project* possui diversos dados sobre as propriedades dos seus materiais possuindo uma API para fazer a extração (JAIN *et al.*, 2013). A extração, filtragem, visualização e armazenamento destes dados são funcionalidades muito desejáveis para uma análise das propriedades do material e, o trabalho teve enfoque em montar um programa de extração dos dados referentes a estabilidade elástica dos compostos binários metálicos de alumínio, boro e silício da plataforma.

A linguagem Python permite automatizar tarefas chatas e repetitivas que poderiam ser feitas manualmente, como uma consulta em uma API ou o *download* de uma informação disposta na página da *Web* (SWEIGART, 2015). Por isso o trabalho se propôs a utilizar essa nova ferramenta muito útil na esfera dos dados para montar dois programas, um voltado para a extração e armazenamento das informações, e o outro para acesso e geração das visualizações a partir da base de dados.

Com isso o desejo do trabalho é de extrair os dados dos materiais desejados de forma automatizada e mais rápida por meio da plataforma e, em seguida visualizar tais dados. Criando um modelo que com alguns ajustes possa ser útil para a extração e visualização de outras informações da plataforma de forma mais fácil.

1.1 Motivação

A motivação para a realização deste projeto estava em produzir uma ferramenta capaz de auxiliar na obtenção dos dados das propriedades físicas dos compostos binários metálicos de alumínio, boro e silício. Assim, estavam dentre os objetivos:

1. Desenvolver um *software* que possibilitasse a geração de bases de dados locais dos compostos binários de alumínio, boro e silício. Que futuramente também servisse como um modelo que possa ser adaptado para extrair quaisquer compostos binários.

2. Desenvolver um *software* de visualização dos dados extraídos e armazenados nas bases de dados locais que possibilitasse a geração de gráficos das propriedades físicas dos compostos binários metálicos.

1.2 Justificativa

O desejo de utilizar essas ferramentas e montar esse projeto foi algo mais pessoal, tinha como objetivo me aprofundar no tema e desenvolver um pouco mais minhas habilidades na programação e montar uma automação com ETL de dados e visualização. Além de permitir que outros estudantes tenham meios de extrair vários dados da plataforma de forma mais rápida.

1.3 Organização do trabalho

No Capítulo 2 são apresentados os conceitos físicos e computacionais teóricos para a compreensão da metodologia, dos resultados e das conclusões do trabalho. No Capítulo 3 está explicada a metodologia empregada no desenvolvimento da monografia, com os *softwares* empregados e as linguagens utilizadas. O Capítulo 4 expõe os resultados obtidos no desenvolvimento do programa para a extração das informações e geração da base de dados, e do programa de acesso e visualização das informações. O Capítulo 5 é responsável por concluir o trabalho com algumas conclusões feitas sobre os programas, baseada nas informações obtidas no trabalho e sobre algumas possíveis melhorias que podem ser feitas para permitir o programa extrair os dados de outra maneira. Por fim seguem os Apêndices com todos os códigos abordados nos resultados e que compõe o programa e, as imagens de interface, tabelas e gráficos gerados pelos programas. Os códigos finais podem ser acessados no repositório do

Github:<https://github.com/Alexandre-Leal/Binary-Compound-Data-Collector-RPA>

2 FUNDAMENTAÇÃO TEÓRICA

2.1 Propriedades elásticas do material

2.1.1 Tensor elástico

Um corpo sólido qualquer deformar-se-á ao ser aplicada uma força de tração ou compressão uniaxial sobre duas de suas superfícies opostas de seu corpo. A força aplicada gerará uma tensão mecânica interna, de compressão ou de tração respectivamente, que é responsável pela deformação física do material. Se a tensão gerada pela força aplicada estiver abaixo de um determinado limite, chamada de tensão limite de escoamento, o corpo não apresentará nenhuma deformação plástica e permanecerá no regime elástico, ou seja, ao ser retirada a tensão o corpo retornará à sua forma inicial (CALLISTER e RETHWISCH, 2016). Essa relação de tensão-deformação no regime elástico é conhecida como Lei de Hooke, descrita na equação (1), a constante de proporcionalidade E é chamada de módulo de Young ou módulo de elasticidade (CALLISTER e RETHWISCH, 2016). A Lei de Hooke pode ser escrita de forma generalizada como na equação (2), descrevendo para uma determinada tensão homogênea σ_{ij} o valor da deformação resultante ε_{kl} ocasionada no cristal (NYE, 1985).

$$\sigma = E \cdot \varepsilon \quad (1)$$

$$\sigma_{ij} = C_{ijkl} \varepsilon_{kl} \quad (2)$$

Sendo C_{ijkl} as constantes de rigidez elástica do cristal em questão. Dessa forma, a equação (2) passa a representar um conjunto de 9 equações que ao todo possuem 81 constantes elásticas C_{ijkl} . Mas, como σ_{ij} é a parte simétrica do tensor de tensão, a consideração abaixo pode ser feita abaixo (NYE, 1985).

$$\sigma_{ij} = \sigma_{ji} \Rightarrow C_{ijkl} = C_{jikl} \quad (3)$$

Além disso, a simetria do tensor de deformação implica na igualdade da equação (4) (NYE, 1985).

$$\varepsilon_{kl} = \varepsilon_{lk} \Rightarrow C_{ijkl} = C_{jikl} \quad (4)$$

A partir das considerações feitas nas equações (3) e (4) por conta da simetria dos tensores de tensão-deformação, o número de constantes elásticas independentes C_{ijkl} é reduzido de 81 para 36 (NYE, 1985).

A tensão pode ser obtida por meio da derivada parcial da energia potencial elástica U pela deformação ε_{ij} do material através da equação (5) (WANG, LEE e KAN, 2016 *apud* SINGH *et al.*, 2021).

$$\sigma_{ij} = \frac{\partial U}{\partial \varepsilon_{ij}} \quad (5)$$

A partir das equações (2) e (5) pode-se montar a relação presente na equação (6) (SINGH *et al.*, 2021).

$$C_{ijkl} = \frac{\partial \sigma_{ij}}{\partial \varepsilon_{kl}} \Rightarrow C_{ijkl} = \frac{\partial^2 U}{\partial \varepsilon_{kl} \partial \varepsilon_{ij}} \quad (6)$$

Por conta da arbitrariedade na ordem da diferenciação presente na equação (6), $C_{ijkl} = C_{jikl}$. Essa relação também é chamada de simetria maior do tensor de rigidez e reduz o número de constantes elásticas independentes C_{ijkl} de 36 para 21 (SINGH *et al.*, 2021).

Utilizando a notação matricial e abreviando para as constantes elásticas C_{ijkl} seus sufixos “ ij ” para um valor de 1 a 6 e “ kl ” para um valor de 1 a 6, por conta da simetria do segundo ranque dos tensores de tensão-deformação, é possível escrever as equações para as 36 constantes elásticas C_{nm} , das quais 21 são independentes (NYE, 1985). Dessa maneira, a notação de Voigt para a matriz dos tensores de tensão e deformação pode ser expressa no formato da equação (7) (SINGH *et al.*, 2021).

$$\begin{bmatrix} \sigma_1 \\ \sigma_2 \\ \sigma_3 \\ \sigma_4 \\ \sigma_5 \\ \sigma_6 \end{bmatrix} = \begin{bmatrix} C_{11} & C_{12} & C_{13} & C_{14} & C_{15} & C_{16} \\ C_{21} & C_{22} & C_{23} & C_{24} & C_{25} & C_{26} \\ C_{31} & C_{32} & C_{33} & C_{34} & C_{35} & C_{36} \\ C_{41} & C_{42} & C_{43} & C_{44} & C_{45} & C_{46} \\ C_{51} & C_{52} & C_{53} & C_{54} & C_{55} & C_{56} \\ C_{61} & C_{62} & C_{63} & C_{64} & C_{65} & C_{66} \end{bmatrix} \begin{bmatrix} \varepsilon_1 \\ \varepsilon_2 \\ \varepsilon_3 \\ \varepsilon_4 \\ \varepsilon_5 \\ \varepsilon_6 \end{bmatrix} \quad (7)$$

De maneira similar, o tensor de complacência elástica, com $s_{ij} = C_{ij}^{-1}$, pode ser escrito na forma matricial como na equação (8) (SINGH *et al.*, 2021).

$$\begin{bmatrix} \varepsilon_1 \\ \varepsilon_2 \\ \varepsilon_3 \\ \varepsilon_4 \\ \varepsilon_5 \\ \varepsilon_6 \end{bmatrix} = \begin{bmatrix} s_{11} & s_{12} & s_{13} & s_{14} & s_{15} & s_{16} \\ s_{21} & s_{22} & s_{23} & s_{24} & s_{25} & s_{26} \\ s_{31} & s_{32} & s_{33} & s_{34} & s_{35} & s_{36} \\ s_{41} & s_{42} & s_{43} & s_{44} & s_{45} & s_{46} \\ s_{51} & s_{52} & s_{53} & s_{54} & s_{55} & s_{56} \\ s_{61} & s_{62} & s_{63} & s_{64} & s_{65} & s_{66} \end{bmatrix} \begin{bmatrix} \sigma_1 \\ \sigma_2 \\ \sigma_3 \\ \sigma_4 \\ \sigma_5 \\ \sigma_6 \end{bmatrix} \quad (8)$$

2.1.2 Influência da simetria cristalina sobre o tensor elástico

Como visto acima, qualquer sistema cristalino possuirá no máximo 36 constantes de rigidez elástica C_{ijkl} das quais, dependendo da simetria do sistema cristalino, até 21 podem ser independentes, como acontece para o sistema Monoclínico. Basicamente quanto mais simétrico for o sistema cristalino menos constantes elásticas independentes ele possuirá, um exemplo disso é o sistema cúbico que possui apenas 3 constantes independentes (C_{11}, C_{12}, C_{44}).

A tabela 1 mostra a quantidade de constantes de rigidez elásticas independentes para cada sistema cristalino. Os sistemas cristalinos Romboédrico e Tetragonal apresentam quantidades de constantes elásticas independentes dependendo da classe de Laue, por conta disto ela foi deixada entre parênteses nesses casos. A partir da tabela 1 fica mais evidente que o aumento da assimetria do sistema cristalino gera o aumento do seu número de constantes elásticas independentes presentes na sua matriz de rigidez elástica (MOUHAT e COUDERT, 2014), basta olhar o crescimento da quantidade de constantes independentes com o aumento das diferenciações dos parâmetros da rede.

Tabela 1 - Relação da simetria do sistema cristalino com o número de constantes elásticas independentes

Sistema cristalino	Quantidade de C_{ij} independentes	Ângulos entre parâmetros	Relação dos parâmetros de rede
Cúbico	3	$\alpha = \beta = \gamma = 90^\circ$	$a = b = c$
Hexagonal	5	$\alpha = \beta = 90^\circ, \gamma = 120^\circ$	$a_1 = a_2 = a_3 \neq c$
Romboédrico (I) - $(\bar{3}m)$	6	$\alpha = \beta = \gamma \neq 90^\circ$	$a = b = c$
Romboédrico (II) - $(\bar{3})$	7	$\alpha = \beta = \gamma \neq 90^\circ$	$a = b = c$
Tetragonal (I) - $(4/mmm)$	6	$\alpha = \beta = \gamma = 90^\circ$	$a = b \neq c$
Tetragonal (II) - $(4/m)$	7	$\alpha = \beta = \gamma = 90^\circ$	$a = b \neq c$
Ortorrombico	9	$\alpha = \beta = \gamma = 90^\circ$	$a \neq b \neq c$
Monoclínico	13	$\alpha = \gamma = 90^\circ \neq \beta$	$a \neq b \neq c$
Triclinico	21	$\alpha \neq \beta \neq \gamma \neq 90^\circ$	$a \neq b \neq c$

Fonte: Adaptada de MOUHAT e COUDERT (2014) e CALLISTER (2016)

Cada sistema cristalino deve obedecer determinadas condições, necessárias e suficientes, para que o sistema seja elasticamente estável. Tais condições podem ser descritas matematicamente na forma de inequações que relacionam as constantes de rigidez elástica da matriz de rigidez (MOUHAT e COUDERT, 2014). A seguir estão as matrizes de constantes elásticas e as condições matemáticas de estabilidade para cada sistema cristalino.

Para a matriz, os símbolos • foram utilizados para representar as constantes elásticas diferentes de zero da matriz simétrica e as constantes elásticas iguais a zero foram deixadas em branco.

1.1.1.1. Cúbico

O sistema cúbico apresenta 3 constantes elásticas independentes: C_{11} , C_{12} , C_{44} e sua estabilidade pode ser descrita matematicamente pelas 3 inequações (10) que são originadas da sua matriz de constantes elásticas (9) (MOUHAT e COUDERT, 2014).

$$\begin{bmatrix} C_{11} & C_{12} & C_{12} \\ \bullet & C_{11} & C_{12} \\ \bullet & \bullet & C_{11} \\ & & C_{44} \\ & & C_{44} \\ & & C_{44} \end{bmatrix} \quad (9)$$

$$C_{11} - C_{12} > 0, \quad C_{11} + 2C_{12} > 0, \quad C_{44} > 0 \quad (10)$$

1.1.1.2. Hexagonal

O sistema Hexagonal apresenta 5 constantes elásticas independentes: C_{11} , C_{12} , C_{13} , C_{33} , C_{44} e sua estabilidade pode ser descrita matematicamente pelas 3 inequações (12) que são originadas da sua matriz de constantes elásticas (11) (MOUHAT e COUDERT, 2014).

$$\begin{bmatrix} C_{11} & C_{12} & C_{13} \\ \bullet & C_{11} & C_{13} \\ \bullet & \bullet & C_{33} \\ & & C_{44} \\ & & C_{44} \\ & & (C_{11} - C_{12})/2 \end{bmatrix} \quad (11)$$

$$C_{11} > |C_{12}|, \quad 2C_{13}^2 < C_{33}(C_{11} + C_{12}), \quad C_{44} > 0 \quad (12)$$

1.1.1.3. Tetragonal (I) - 4/mmm

O sistema Tetragonal (I) apresenta 6 constantes elásticas independentes: C_{11} , C_{12} , C_{13} , C_{33} , C_{44} , C_{66} e sua estabilidade pode ser descrita matematicamente pelas 4 inequações (13) que são originadas da sua matriz de constantes elásticas (14) (MOUHAT e COUDERT, 2014).

$$\begin{bmatrix} C_{11} & C_{12} & C_{13} & & & \\ \bullet & C_{11} & C_{13} & & & \\ \bullet & \bullet & C_{33} & & & \\ & & & C_{44} & & \\ & & & & C_{44} & \\ & & & & & C_{66} \end{bmatrix} \quad (13)$$

$$C_{11} > |C_{12}|, \quad 2C_{13}^2 < C_{33}(C_{11} + C_{12}), \quad C_{44} > 0, \quad C_{66} > 0 \quad (14)$$

1.1.1.4. Tetragonal (II) - 4/m

O sistema Tetragonal (II) apresenta 7 constantes elásticas independentes: $C_{11}, C_{12}, C_{13}, C_{16}, C_{33}, C_{44}, C_{66}$ e sua estabilidade pode ser descrita matematicamente pelas 4 inequações (16) que são originadas da sua matriz de constantes elásticas (15) (MOUHAT e COUDERT, 2014).

$$\begin{bmatrix} C_{11} & C_{12} & C_{13} & & C_{16} & \\ \bullet & C_{11} & C_{13} & & -C_{16} & \\ \bullet & \bullet & C_{33} & & & \\ & & & C_{44} & & \\ & & & & C_{44} & \\ \bullet & \bullet & & & & C_{66} \end{bmatrix} \quad (15)$$

$$C_{11} > |C_{12}|, \quad 2C_{13}^2 < C_{33}(C_{11} + C_{12}), \quad C_{44} > 0, \quad 2C_{16}^2 > C_{66}(C_{11} - C_{12}) \quad (16)$$

1.1.1.5. Romboédrico (I) - $\bar{3}m$

O sistema Romboédrico (I) apresenta 6 constantes elásticas independentes: $C_{11}, C_{12}, C_{13}, C_{14}, C_{33}, C_{44}$ e sua estabilidade pode ser descrita matematicamente pelas 4 inequações (18) que são originadas da sua matriz de constantes elásticas (17) (MOUHAT e COUDERT, 2014).

$$\begin{bmatrix} C_{11} & C_{12} & C_{13} & C_{14} & & \\ \bullet & C_{11} & C_{13} & -C_{14} & & \\ \bullet & \bullet & C_{33} & & & \\ \bullet & \bullet & & C_{44} & & \\ & & & & C_{44} & C_{14} \\ & & & & \bullet & C_{66} \end{bmatrix} \quad (17)$$

$$C_{11} > |C_{12}|, \quad C_{44} > 0, \quad (18)$$

$$C_{13}^2 < \frac{1}{2} C_{33}(C_{11} + C_{12}),$$

$$C_{14}^2 < \frac{1}{2} C_{44}(C_{11} - C_{12}) \equiv C_{44}C_{66}$$

Sendo $C_{66} = \frac{1}{2}(C_{11} - C_{12})$. Assim como no caso do sistema cristalino Hexagonal.

1.1.1.6. Romboédrico (II) - $\bar{3}$

O sistema Romboédrico (II) apresenta 7 constantes elásticas independentes: $C_{11}, C_{12}, C_{13}, C_{14}, C_{15}, C_{33}, C_{44}$ e sua estabilidade pode ser descrita matematicamente pelas 4 inequações (26) que são originadas da sua matriz de constantes elásticas (25) (MOUHAT e COUDERT, 2014).

$$\begin{bmatrix} C_{11} & C_{12} & C_{13} & C_{14} & C_{15} \\ \bullet & C_{11} & C_{13} & -C_{14} & -C_{15} \\ \bullet & \bullet & C_{33} & & \\ \bullet & \bullet & & C_{44} & \\ \bullet & \bullet & & & C_{44} \\ & & & \bullet & \bullet \\ & & & & C_{66} \end{bmatrix} \quad (19)$$

$$C_{11} > |C_{12}|, \quad C_{44} > 0,$$

$$C_{13}^2 < \frac{1}{2} C_{33}(C_{11} + C_{12}), \quad (20)$$

$$C_{14}^2 + C_{15}^2 < \frac{1}{2} C_{44}(C_{11} - C_{12}) \equiv C_{44}C_{66}$$

Sendo $C_{66} = \frac{1}{2}(C_{11} - C_{12})$. Assim como no caso do sistema cristalino Romboédrico (I).

1.1.1.7. Ortorrômbico

O sistema Ortorrômbico apresenta 9 constantes elásticas independentes: $C_{11}, C_{12}, C_{13}, C_{22}, C_{23}, C_{33}, C_{44}, C_{55}, C_{66}$ e sua estabilidade pode ser descrita matematicamente pelas 6 inequações (22) que são originadas da sua matriz de constantes elásticas (27) (MOUHAT e COUDERT, 2014).

$$\begin{bmatrix} C_{11} & C_{12} & C_{13} \\ \bullet & C_{22} & C_{23} \\ \bullet & \bullet & C_{33} \\ & & C_{44} \\ & & C_{44} \\ & & C_{66} \end{bmatrix} \quad (21)$$

$$\begin{aligned} C_{11} > 0, \quad C_{44} > 0, \quad C_{55} > 0, \quad C_{66} > 0, \quad C_{11}C_{22} > C_{12}^2, \\ C_{11}C_{22}C_{33} + 2C_{12}C_{13}C_{23} - C_{11}C_{23}^2 - C_{22}C_{13}^2 - C_{33}C_{12}^2 > 0 \end{aligned} \quad (22)$$

1.1.1.8. Monoclínico e Triclínico

Os sistemas cristalinos monoclínico e triclínico apresentam 13 e 21 constantes de rigidez elásticas independentes respectivamente e suas condições de estabilidade apresentam sistemas de inequações maiores e mais complexos e que não serão abordados no desenvolvimento deste trabalho.

2.1.3 Módulos elásticos de Voigt, Reuss e Hill

Para um material policristalino, os tensores de tensão e deformação variam na posição \mathbf{r} . Dessa maneira a expressão da Lei de Hooke generalizada para um sistema policristalino linear e homogêneo, utilizando a notação de Voigt simplificada, pode ser dada pela equação (23) (SINGH *et al.*, 2021).

$$\sigma_i(\mathbf{r}) = C_{ij}(\mathbf{r})\varepsilon_j(\mathbf{r}) \quad (23)$$

Para calcular as constantes elásticas e propriedades mecânicas efetivas num material policristalino é preciso considerar os valores médios no sistema de coordenadas \mathbf{r} . As equações (24) e (25) permitem determinar o valor médio da tensão $\langle \sigma \rangle$ e o valor médio da deformação $\langle \varepsilon \rangle$ para um sistema estatisticamente uniforme (SINGH *et al.*, 2021).

$$\langle \sigma \rangle = \frac{1}{V} \int \sigma(\mathbf{r}) d\mathbf{r} \quad (24)$$

$$\langle \varepsilon \rangle = \frac{1}{V} \int \varepsilon(\mathbf{r}) d\mathbf{r} \quad (25)$$

Sendo V o volume e assumindo que $\sigma(\mathbf{r})$ e $\varepsilon(\mathbf{r})$ variam pouco e continuamente na posição do espaço \mathbf{r} . Existem várias maneiras de calcular as constantes elásticas efetivas, sendo algumas das mais conhecidas as de Voigt, Reuss e Voigt-Reuss-Hill (SINGH *et al.*, 2021).

No esquema de Voigt é considerado que o campo da deformação é constante ao longo do material e, portanto, $\varepsilon(\mathbf{r}) = \varepsilon$, sendo ε independente de \mathbf{r} . Em contrapartida, o esquema de Reuss se baseia na premissa de que o campo da tensão é uniforme ao longo do material e, portanto, $\sigma(\mathbf{r}) = \sigma$ e é independente de \mathbf{r} . No modelo de Voigt-Reuss-Hill, é feita uma média aritmética entre os valores dos modelos de Voigt e Reuss, o que acabou gerando uma boa estimativa quando comparada com valores medidos de forma experimental. Assim, o modelo Voigt-Reuss-Hill mostrou-se ser o mais verossímil dentre os três modelos (SINGH *et al.*, 2021).

❖ Bulk Modulus ou Módulo volumétrico (K)

O módulo volumétrico K é a razão entre a tensão aplicada e a deformação volumétrica de um determinado material, dessa maneira, ele é um parâmetro que descreve a capacidade do material a resistir às mudanças de volume quando aplicada uma tensão sobre este (POPLAVKO, 2019). As equações (26), (27) e (28) representam matematicamente o cálculo do módulo volumétrico K para os modelos de Voigt, Reuss e Voigt-Reuss-Hill respectivamente (SINGH *et al.*, 2021).

$$K_V = \frac{1}{9} [(C_{11} + C_{22} + C_{33}) + 2(C_{12} + C_{23} + C_{31})] \quad (26)$$

$$\frac{1}{K_R} = (s_{11} + s_{22} + s_{33}) + 2(s_{12} + s_{23} + s_{31}) \quad (27)$$

$$K_{VRH} = \frac{K_V + K_R}{2} \quad (28)$$

❖ Módulo de cisalhamento (G)

O módulo de cisalhamento, também chamado de módulo de rigidez, é a razão entre a tensão de cisalhamento e a deformação de cisalhamento (POPLAVKO, 2019). As equações (29), (30) e (31) são utilizadas para calcular os módulos de cisalhamento nos modelos de Voigt, Reuss e Voigt-Reuss-Hill respectivamente (SINGH *et al.*, 2021).

$$G_V = \frac{1}{15} [(C_{11} + C_{22} + C_{33}) - (C_{12} + C_{23} + C_{31}) + 3(C_{44} + C_{55} + C_{66})] \quad (29)$$

$$\frac{1}{G_R} = 4(s_{11} + s_{22} + s_{33}) - 4(s_{12} + s_{23} + s_{31}) + 3(s_{44} + s_{55} + s_{66}) \quad (30)$$

$$G_{VRH} = \frac{G_V + G_R}{2} \quad (31)$$

Para o cálculo das propriedades abaixo, nas equações onde constam os módulos elástico K e G , foram utilizados os módulos elásticos K_{VRH} e G_{VRH} respectivamente, obtidos por meio do modelo de Voigt-Reuss-Hill.

2.1.4 Módulo de Young (E)

O módulo de Young, ou também chamado de módulo elástico, representa a capacidade de um determinado material se alongar ou se comprimir ainda no regime elástico quando aplicada sobre ele algum tipo de tensão (POPLAVKO, 2019). Sendo ele a constante de proporcionalidade na relação tensão-deformação (NYE, 1985). O módulo de Young pode ser calculado a partir dos módulos volumétrico K e de cisalhamento G utilizando a equação (32) (SINGH *et al.*, 2021).

$$E = \frac{9KG}{3K + G} \quad (32)$$

2.1.5 Coeficiente de Poisson isotrópico (ν)

O coeficiente de Poisson indica o quanto a seção transversal de uma amostra deforma quando o material é submetido à tensão longitudinal, aplicada ao longo de seu comprimento, e que, portanto, deforma a amostra longitudinalmente. Esse coeficiente permite acompanhar o comportamento da deformação da seção transversal do material conforme o corpo se deforma longitudinalmente (POPLAVKO, 2019). O coeficiente de Poisson para um determinado material isotrópico pode ser calculado utilizando a equação (33) (SINGH *et al.*, 2021).

$$\nu = \frac{3K - E}{6K} = \frac{3K - 2G}{2(3K + G)} \quad (33)$$

2.2 Density Functional Theory (DFT)

A DFT, também chamada em português de Teoria do Funcional da Densidade, possui dois teoremas principais que são utilizados para o método de cálculos de primeiros princípios quando se busca prever os valores das propriedades do material. Estes dois principais teoremas são o de Hohenberg, Kohn e Sham (HOHENBERG, KOHN e SHAM, 1990).

O primeiro teorema afirma que a energia no estado fundamental é um funcional da densidade eletrônica. Isso implica que a densidade eletrônica é a única variável que influencia a energia do estado fundamental e, portanto, é a única que precisa ser calculada para se

determinar a energia e outras propriedades. O segundo teorema afirma que a densidade eletrônica do estado fundamental é a densidade que minimiza a energia do sistema.

As contas da DFT poderiam chegar em resultados exatos, no entanto existe a presença do potencial de correlação e troca cujo valor não é conhecido. Para resolver este problema, existem diversas considerações quanto ao valor deste potencial. Para os valores presentes neste trabalho, que foram extraídos da plataforma do *Materials Project*, a consideração feita pelo *Materials Project* para o potencial de correlação e troca foi a aproximação *Generalized Gradient Approximation* (GGA).

2.2.1 Materials Project

Os valores presentes no *Materials Project* são calculados utilizando a DFT a p *software VASP* (JAIN *et al.*, 2011), para calcular o valor da energia total dos compostos a conta com a DFT é realizada e um ajuste é feito utilizando a aproximação GGA (JAIN *et al.*, 2011).

Para obter as constantes elásticas o *Materials Project* utiliza o método dos primeiros princípios da DFT, utilizando simulações computacionais para tentar prever os resultados das propriedades elásticas dos materiais. Inicialmente é realizado um relaxamento de toda a tensão no cristal, até que ela se torne zero. Em seguida perturbações são aplicadas nos vetores da rede e o tensor de tensão resultante é calculado. Por fim o ajuste do tensor é realizado utilizando as relações constitutivas linear de tensão-deformação de elasticidade linear e as propriedades derivadas do tensor são calculadas (JONG *et al.*, 2015).

2.3 Energia de formação

A energia de formação de um composto ($H_f^{A_nB_m}$) pode ser obtida na DFT através da diferença entre a energia total do composto com as energias potenciais químicas dos elementos separados. Na DFT a energia de formação de um composto pode ser calculada segundo a equação (34).

$$H_f^{A_nB_m} = E(A_nB_m) - n\mu_A - m\mu_B \quad (34)$$

Onde μ_A e μ_B são as energias potenciais químicas dos elementos químicos A e B e $E(A_nB_m)$ é a energia total do composto A_nB_m .

2.4 Python

2.4.1 Bilbiotecas, módulos e *Frameworks*

De forma simples, podemos dizer que uma biblioteca possui um conjunto de módulos que agregam funcionalidades diferentes à ela e a compõem (LUNDH, 2001).

Os *Frameworks* são conjuntos de módulos que também ajudam a desenvolver aplicações *Web*. Podem se parecer muito com as bibliotecas em alguns casos, mas em geral possuem duas grandes diferenças em comparação a elas. A primeira é que ao utilizar uma biblioteca o programador chama seus métodos e controla a ação, já em um *Framework* esse controle é invertido, sendo definido pelo *Framework* as ações que ser utilizadas. A segunda é que uma biblioteca realiza operações específicas enquanto os *Frameworks* possuem um fluxo básico e o restante deve ser construído pelo programador (WASEEM, 2021).

❖ NumPy

A NumPy é uma biblioteca *open source* para a computação científica. Ela contém diversas funções matemáticas que são muito úteis. A NumPy substitui algumas das funcionalidades do Matlab e Mathematica, possibilitando uma rápida prototipação no próprio código. A NumPy permite deixar o código mais enxuto do que se utilizasse apenas Python para obter os mesmos resultados, pois suas funções matemáticas permitem simplificar muito o código resultando em um código mais eficiente e enxuto (IDRIS, 2013).

❖ Pandas

A Pandas é uma biblioteca ideal para trabalhar com dados arquivados na forma de planilhas ou bancos de dados relacionais, com dados armazenados de forma tabular. Ela é a ferramenta ideal no Python para explorar, limpar, e processar os dados. A biblioteca Pandas suporta integração com diversos tipos de formatos como: CSV, Excel, SQL, JSON, entre outros. A biblioteca possui maneiras de filtrar as informações muito eficientemente, podendo utilizar diversas condições diferentes para determinar a informação a ser filtrada (MCKINNEY *et al.*, 2021).

❖ Pymatgen

A Pymatgen é uma biblioteca que permite a extração dos dados do sistema do *Materials Project* via API, denominada MAPI. Ela possui um empacotador conveniente para a MAPI para possibilitar a extração de múltiplos dados do sistema em uma só consulta utilizando REST (ONG, et al., 2013).

❖ Selenium

O Selenium é um *Framework* que possui uma série de ferramentas úteis para simular um usuário e testar o funcionamento das aplicações, no entanto, ele também permite a extração de dados via *browser* o que também é conhecido como *Web Scraping* (CHACON, 2021). Essa extração ocorre por meio das informações dispostas na tela do seu navegador automático (*WebDriver*) e por conta disto, essa extração também foi chamada de *Screen Scraping* (GUNDECHA, 2014).

❖ Getpass

O módulo Getpass faz parte da biblioteca padrão do Python e permite omitir informações no código, ele é bastante útil quando se deseja deixar a informação digitada pelo usuário oculta, como no caso de senhas (LUNDH, 2001).

❖ Sys

O módulo Sys faz parte da biblioteca padrão do Python e permite controlar a rotina do programa com algumas funções, podendo por exemplo forçar o término da execução do programa no momento desejado (LUNDH, 2001).

❖ Matplotlib

A Matplotlib é uma biblioteca para plotagens 2D que permite a geração de pontos, histogramas, gráficos de barras, gráficos de linhas com marcadores ou apenas de linhas e muitos outros utilizando Python (MORGAN, 2018).

2.5 Application Programming Interface (*API*)

O termo API é um acrônimo de *Application Programming Interface* e, como o nome sugere, as APIs são as interfaces entre dois *softwares*, que permitem com que esses programas “conversem” entre si, compartilhando as informações entre eles. A API possibilitou a obtenção de dados de um programa para outro de maneira mais ágil e simples. Além disso, elas também podem ser utilizadas como via para armazenar informações no sistema, permitindo que o programa compartilhe os dados com o programa na outra ponta da API. As APIs possuem algumas arquiteturas diferentes entre si e, essas variações, implicam no seu tipo, que podem ser classificadas como: REST, SOAP, Webhooks, GraphQL, WebSocket, gRPC, EDI, MQTT, AMQP ou *Server-sent event* (LANE, 2020).

A maioria das APIs pedem identificação do usuário para que o programa possa estar acessando e extraíndo os dados do outro programa. Essa identificação é feita por meio de credenciais que servem como identificadores únicos para aquele usuário. Dentre as opções de credenciais para uma API estão nome, senha, token, chaves etc. (RAPIDAPI, 2021).

No caso da API do *Materials Project* (MAPI) a credencial necessária é a chave da API e para obter a chave da API basta criar uma conta no sistema e acessar a página API, nela a chave está disposta (ONG *et al.*, 2014).

Após fazer a autenticação com a sua credencial, o usuário pode obter os dados por meio de bibliotecas de requests, que no Python seria a *requests*. No entanto, no caso da MAPI existe uma biblioteca ainda melhor desenvolvida especificamente para a extração de grandes quantidades de dados dos compostos presentes nela, a biblioteca *Pymatgen*. Com ela é possível fazer as consultas das propriedades para os compostos indicados bastando seguir o modelo do código descrito na sua documentação (ONG *et al.*, 2013).

2.6 *Web Scraping*

Web Scraping é a prática de extrair os dados da internet de forma automatizada por meio de programas, sendo uma prática tão antiga quanto a própria internet. No entanto, no passado essa prática foi conhecida com outros nomes, como: *screen scraping*, *data mining* ou *web harvesting* (MITCHELL, 2018).

3 METODOLOGIA

Esta seção apresenta as tecnologias empregadas para a elaboração dos *softwares* de extração, formatação e visualização de dados e as metodologias empregadas para atingir o resultado.

3.1 Materiais e Tecnologias empregadas

Para a elaboração do projeto foram utilizados um notebook com 8Gb de RAM e um processador Intel (R) Core (TM) i5-5200U CPU @ 2.20GHz 2.20 GHz e uma conexão de internet de 100 Mb além das seguintes tecnologias:

3.1.1 Pacote Miniconda 3

O pacote Miniconda 3 é um instalador mínimo para o Conda e que já possui com ele algumas bibliotecas úteis no desenvolvimento do *software*, como a biblioteca *pip* (ANACONDA, 2017). Para o instalador Miniconda3 foi utilizado o Windows 64-bit pois era o compatível com o sistema operacional do computador, que era um Windows 10.

3.1.2 IDE Jupyter Notebook

A IDE (*Integrated Development Environment*) ou também conhecido como Ambiente de Desenvolvimento Integrado é uma aplicação *web open-source* que permite a criação de códigos com visualizações e tratamentos de dados. Além disso ele permite o uso de blocos de código que são muito úteis para desenvolver o código em partes, gerando ótimas visualizações durante a execução (PROJECT JUPYTER, 2021).

A IDE Jupyter Notebook foi utilizada para desenvolver os códigos em Python e serviu como interpretador para o *software* desenvolvido em Python.

3.1.3 Chromedriver

O Chromedriver é um servidor que implementa o WebDriver, uma ferramenta *open-source* para automações na Web utilizando o navegador Google Chrome. Além disso, a versão utilizada para o ChromeDriver foi a 96.0.4664.45, a que é compatível com a versão do navegador que estava instalado no computador.

Ele foi o programa utilizado para rodar o Google Chrome automático que foi desenvolvido utilizando o *Framework* Selenium em Python.

3.1.4 Google Chrome

O Google Chrome é um navegador *Web* amplamente utilizado no mundo, o qual, assim como supracitado, o próprio driver (Chromedriver) também utiliza como meio para rodar os códigos de *Web Scraping* no navegador. O Google Chrome possui a função de Inspecinar elemento que permite acessar o código *HyperText Markup Language* (HTML) do programa.

3.1.5 Materials Application Programming Interface (MAPI)

A *Materials Application Programming Interface* (MAPI) é uma API aberta que permite acessar os dados do *Materials Project* utilizando os princípios de *REpresentational State Transfer* (REST), assim um *Uniform Resource Identifier* (URI), identificador que designa determinados dados do composto procurado (ONG *et al.* 2014).

3.1.6 Python e suas bibliotecas

A linguagem empregada no desenvolvimento do *software* foi o Python, ela foi escolhida por se tratar de uma linguagem com vastas bibliotecas com usos pertinentes para a elaboração do *software*, como: Pip, Pymatgen, Pandas, Matplotlib, NumPy.

❖ Pip

A Pip é uma biblioteca com um pacote de instalação para o Python, e foi utilizada para instalar as demais bibliotecas, como a Pandas, NumPy e Pymatgen.

❖ Pymatgen

A Pymatgen foi utilizada para extrair os dados da MAPI, e graças a ela foi possível consultar e extrair os dados das propriedades físicas do material de forma mais rápida e eficiente.

❖ NumPy

A biblioteca NumPy foi utilizada para realizar operações matemáticas e alguns recursos especiais como valores não encontrados. Em conjunto com a Pandas ela foi utilizada para: o tratamento dos dados extraídos e a geração da base de dados local.

❖ Pandas

A biblioteca Pandas foi utilizada para tratar os dados e gerar o arquivo final com as informações obtidas e tratadas. Dessa maneira a Pandas foi empregada para formatar as informações em *DataFrames* e, em seguida, para gerar a base de dados local em um arquivo Excel.

❖ Selenium

O Selenium foi usado para o desenvolvimento do *Web Scraping* das informações que não estavam disponíveis na API, mas apenas na interface *Web* do Site. Graças a ela foi possível montar a parte do código referente ao *Web Scraping* das informações via interface *Web*

❖ Matplotlib

A Matplotlib foi utilizada para a geração dos gráficos personalizado das propriedades dos materiais para cada composição dos compostos binários com metais de transição.

3.2 Métodos

O desenvolvimento do projeto está separado em 3 grandes etapas: a instalação e preparo do ambiente virtual para o desenvolvimento do código (3.2.1 a 3.2.3), o ETL das informações gerando a base de dados locais (3.2.4 a 3.2.8) e a visualização dos dados extraídos (3.2.9).

3.2.1 Instalação do pacote Miniconda 3

O primeiro passo para o desenvolvimento do projeto foi a instalação do pacote Miniconda 3 que já instala o Python e o instalador de pacotes *Pip* e *Conda* que permitiram instalar as demais bibliotecas.

3.2.2 Ambiente Virtual

Em seguida, com o instalador de pacotes conda, uma partição da máquina responsável por conter apenas informações desse projeto foi criada, passo muito útil para separar um desenvolvimento dos demais. Portanto, usando o pacote conda, foi criado o ambiente virtual do projeto para separá-lo dos demais desenvolvimentos presentes na máquina e retirar possíveis

interferências que as bibliotecas de outras versões de outros desenvolvimentos pudessem ocasionar (APÊNDICE A).

3.2.3 Instalação do Jupyter Notebook e das bibliotecas

Logo em seguida, utilizando o instalador conda, a IDE Jupyter Notebook foi instalada (APÊNDICE A). Após isso, todas as bibliotecas necessárias para o desenvolvimento do projeto também foram instaladas utilizando os pacotes conda ou Pip.

3.2.4 Importação das bibliotecas e definição de funções e variáveis

As bibliotecas instaladas foram ativadas dentro do código para realizar a extração e transformação dos dados. Além disso, algumas definições foram feitas, como a chave da API, a lista com os elementos de transição a serem combinados, a lista com os elementos que o usuário pode combinar com os de transição e o elemento que o usuário deseja combinar, com essas informações foi possível dar continuidade na extração (APÊNDICE B).

3.2.5 Extrator dos dados via API

A primeira parte do desenvolvimento foi a confecção do programa extrator de dados via API, realizando consultas na MAPI e coletando valores de determinadas propriedades de um composto indicado. Para isso foi utilizada a biblioteca Pymatgen que permitiu a consulta e extração das propriedades de diversos compostos através do MPRester, utilizou-se o token para realizar a autenticação na API (APÊNDICE C).

3.2.6 Transformação dos dados

Após a extração dos dados via Pymatgen foi necessário armazená-los em forma de tabelas e para isso as bibliotecas Pandas e NumPy foram utilizadas, gerando novas colunas, deletando colunas desnecessárias, renomeando colunas e reordenando as informações de acordo com os objetivos. Essas bibliotecas permitiram a transformação de dicionários para novas colunas, tornando possível a organização adequada dos dados dentro dos *DataFrames* (APÊNDICE D).

3.2.7 Web Scraper dos dados faltantes

Para conseguir acessar os dados faltantes na API, predição de KVRH, GVRH e *Decomposes To*, foi necessário elaborar em uma parte do código um *Web Scraping* destas três informações faltantes via interface *Web*.

Para isso, o *Framework* Selenium do Python foi utilizado no desenvolvimento desta etapa, permitindo a confecção de um *script* que navegou entre as páginas dos compostos e extraiu informações desejadas (APÊNDICE E).

Ao utilizar o código do (APÊNDICE E) você poderá realizar o login com uma conta de email USP, ou logar manualmente antes de dar o ok no input para prosseguir.

Assim o *script* irá logar na interface *Web* do site e em seguida irá acessar individualmente cada uma das páginas dos compounds-ids extraídos via API de uma base de dados igual a cópia do df extraído via API (APÊNDICE E).

3.2.8 Cálculo dos parâmetros desejados e da geração da base de dados local

Finalmente, com os valores de KVRH e GVRH de todos os compostos binários metálicos, as relações de tensão-deformação como o Módulo de Young e o Coeficiente de Poisson, podem ser calculadas, gerando a base de dados local com todos os dados extraídos, transformados e calculados (APÊNDICE F).

3.2.9 Geração das visualizações

A partir deste ponto um segundo programa foi confeccionado, separadamente, mas no mesmo ambiente virtual criado na seção 3.2.2. A separação foi feita para permitir que as visualizações pudessem ser geradas por um segundo programa independente utilizando as bases de dados gerada pelo *software* de extração. Assim, as visualizações puderam ser geradas a partir das bases de dados locais criadas para o alumínio, boro e silício.

Como o código foi escrito separado, as bibliotecas necessárias precisaram ser importadas, como no caso da Matplotlib que permitiu a geração dos gráficos. Além disso, os parâmetros desejados foram inseridos na forma de listas para indicar ao código qual arquivo Excel e quais parâmetros filtrar para posteriormente gerar a visualização.

Dessa forma os dados da base de dados local foram separados em diversos *DataFrames* diferentes a partir de sua composição referente ao elemento químico escolhido pelo usuário e,

após isso, todos essas tabelas filtradas foram utilizadas para gerar os gráficos personalizados de todos os parâmetros para cada composição de cada um dos compostos binário metálicos (APÊNDICE G).

4 RESULTADOS E DISCUSSÃO

4.1 Extração dos dados via MAPI

O MPRester da Pymatgen possibilitou extrair os dados por consultas na MAPI. Com o computador e rede de conexão informados foi possível extrair mais de 9200 dados em até 40 segundos, sendo que o código também empilhou os dados coletados de cada composto em um único *DataFrame* neste mesmo tempo.

Para a extração de dados ocorrer o usuário deve informar o elemento químico desejado e que será combinado com os 30 metais de transição expostos. Em seguida, todos os compostos metálicos binários entre o elemento selecionado e os metais de transição serão extraídos da MAPI. Mas para isso o usuário deverá em seguida permitir o início da extração API, via comandos na interface do programa, a Figura 1 apresenta essa interface inicial onde o elemento desejado para a combinação deverá ser escolhido.

Figura 1 – Interfaface inicial referente as informações iniciais do programa

```
=====
METAIS DE TRANSIÇÃO UTILIZADOS PARA A COMBINAÇÃO
=====

Lista dos metais de transição: [Sc, Ti, V, Cr, Mn, Fe, Co, Ni, Cu, Zn, Y, Zr, Nb, Mo, Tc, Ru, Rh, Pd, Ag, Cd, La, Hf, Ta, W, Re, Os, Ir, Pt, Au, Hg]

Número total de elementos: 30

=====
DEFININDO O ELEMENTO A SER COMBINADO
=====

Olá, seja bem-vindo ao extrator de dados!

Para prosseguir selecione um dos símbolos químicos abaixo para extrair suas combinações com os 30 metais de transição listados acima.

Os símbolos químicos disponíveis são:
[Al, B, Si]

Insira o símbolo químico desejado: 
```

Fonte: Autoria própria

Figura 2 – Selecionando o elemento e iniciando a extração da API

```
=====
DEFININDO O ELEMENTO A SER COMBINADO
=====

Olá, seja bem-vindo ao extrator de dados!

Para prosseguir selecione um dos símbolos químicos abaixo para extrair suas combinações com os 30 metais de transição listados acima.

Os símbolos químicos disponíveis são:
[Al, B, Si]

Insira o símbolo químico desejado: Si

=====
EXTRAÇÃO DOS DADOS VIA API
=====

Observação: A partir de agora algumas perguntas para prosseguir serão realizadas, as opções estarão entre colchetes -> [y/n] que significam "yes or no" para prosseguir ou não prosseguir.

Podemos iniciar a extração dos dados dos compostos SiM? [y/n] 
```

Fonte: Autoria própria

A *Pymatgen* possibilitou a extração dos dados de fórmula química, magnetização total, energia de formação, grupo espacial (conjunto de dados), elasticidade (conjunto de dados), densidade, sistema cristalino e volume da célula unitária para cada um dos compostos binários metálicos extraídos. No entanto o formato das informações vindas da consulta da API era de dicionário e, por conta disto, a Pandas foi utilizada para transformar essa estrutura de dicionários no *DataFrame* da Figura 3.

Assim, em menos de 1 minuto, os dados das propriedades acima foram extraídos no formato de dicionário e em seguida armazenados no *DataFrame* da Figura 3.

Figura 3 – Geração do *Dataframe* com os dados da *MAPI* utilizando a *Pymatgen* e a *Pandas*

EXTRAÇÃO DOS DADOS VIA API									
<i>Observação:</i> A partir de agora algumas perguntas para prosseguir serão realizadas, as opções estarão entre colchetes -> [y/n] que significam "yes or no" para prosseguir ou não prosseguir.									
Podemos iniciar a extração dos dados dos compostos SIM? [y/n]									
Extraindo os dados e gerando o DataFrame...									
DataFrame gerado com sucesso!									
Tempo de execução --- 28.54 seconds ---									
material_id	pretty_formula	total_magnetization	formation_energy_per_atom	spacegroup	elasticity	density	crystal_system	volume	
0	mp-7822	Sc ₅ Si ₃	0.001283	-0.768762	{'symprec': 0.1, 'source': 'spglib', 'symbol': ...}	{'G_Reuss': 72.0, 'G_VRH': 72.0, 'G_Voigt': 72...}	3.252083	hexagonal	315.592481
1	mp-2841	ScSi ₂	0.004605	-0.371364	{'symprec': 0.1, 'source': 'spglib', 'symbol': ...}	{'G_Reuss': -184.0, 'G_VRH': -83.0, 'G_Voigt': ...}	3.305653	hexagonal	50.799400
2	mp-9969	ScSi	0.003176	-0.837596	{'symprec': 0.1, 'source': 'spglib', 'symbol': ...}	{'G_Reuss': 66.0, 'G_VRH': 70.0, 'G_Voigt': 74...}	3.336116	orthorhombic	72.712176
3	mp-1190215	Sc ₅ Si ₃	1.106745	-0.290534	{'symprec': 0.1, 'source': 'spglib', 'symbol': ...}	None	3.038162	hexagonal	337.813713
4	mp-1209086	Sc ₅ Si ₄	0.017014	-0.765365	{'symprec': 0.1, 'source': 'spglib', 'symbol': ...}	None	3.269256	orthorhombic	684.930707

Fonte: Autoria própria

4.2 Formatação do *DataFrame*

As informações extraídas da API e inicialmente armazenadas no *DataFrame* ficaram dispostas exatamente como na Figura 3. No entanto, as colunas *spacegroup* e *elasticity* apresentaram dicionários como sendo seus valores. Isso ocorreu pois, nesses dois casos, o valor do dicionário extraído pela *Pymatgen* relacionado às chaves *spacegroup* e *elasticity* também eram dicionários, ou seja, para as colunas *spacegroup* e *elasticity* os valores armazenados eram dicionários e, portanto, foi preciso realizar um novo processo de transformação das chaves destes dois dicionários em novas colunas do *DataFrame* adicionando também seus respectivos valores. Para isso, foram adicionadas ao *DataFrame* novas colunas: *spacegroup_number*, *point_group*, *G_Reuss*, *G_VRH*, *G_Voigt*, *K_Reuss*, *K_VRH*, *K_Voigt*, *C11*, *C12*, *C13*, *C14*, *C15*, *C16*, *C21*, *C22*, *C23*, *C24*, *C25*, *C26*, *C31*, *C32*, *C33*, *C34*, *C35*, *C36*, *C41*, *C42*, *C43*, *C44*, *C45*, *C46*, *C51*, *C52*, *C53*, *C54*, *C55*, *C56*, *C61*, *C62*, *C63*, *C64*, *C65*, *C66*; com os valores

das respectivas chaves dos dicionários de *spacegroup* e *elasticity*. Após isso, as colunas *elasticity* e *spacegroup* foram deletadas e a coluna *Method* contendo a informação do método utilizado para a obtenção dos valores de *KVRH* e *GVRH* foi gerada indicando o método “DFT” para os valores extraídos via API. Dessa maneira, o *DataFrame* resultante desse processo ficou como nas Figuras 4, 5 e 6.

Figura 4 - DataFrame com as novas colunas de *Method*, *elasticity*, *spacegroup* e seus respectivos valores

material_id	pretty_formula	total_magnetization	formation_energy_per_atom	density	crystal_system	cell_volume	spacegroup_number	point_group	G_Reuss	G_VRH	G_Voigt	K_Reuss	K_VRH	K_Voigt
0	mp-1209129	Sc4Al	0.073436	0.521431	2.503547	cubic	274.337263	227.0	m-3m	NaN	NaN	NaN	NaN	NaN
1	mp-999204	ScAl3	0.000114	-0.361746	2.916630	tetragonal	71.679549	139.0	4/mmm	63.0	64.0	65.0	94.0	94.0
2	mp-813	ScAl2	0.001419	-0.486889	3.009750	cubic	109.151154	227.0	m-3m	69.0	69.0	69.0	88.0	88.0
3	mp-11220	Sc2Al	0.175192	-0.350948	3.024175	hexagonal	128.369562	194.0	6/mmm	44.0	44.0	45.0	70.0	70.0
4	mp-978498	Sc3Al	1.255009	-0.247560	3.091582	cubic	86.931890	221.0	m-3m	34.0	36.0	37.0	52.0	52.0
...
246	mp-1183189	Al3Au	0.000144	-0.113982	6.933301	tetragonal	66.560267	139.0	4/mmm	NaN	NaN	NaN	NaN	NaN
247	mp-1228956	AlAu4	0.020434	-0.136008	14.968187	monoclinic	90.397495	12.0	2/m	NaN	NaN	NaN	NaN	NaN
248	mp-569558	AlAu2	0.000005	-0.316636	13.667781	orthorhombic	204.552664	62.0	mmm	31.0	32.0	34.0	117.0	118.0
249	mp-10871	AlAu	0.000229	-0.243324	11.097747	cubic	33.509015	221.0	m-3m	-19.0	-21.0	-23.0	147.0	147.0
250	mp-30550	AlAu2	0.000099	-0.313114	13.709394	orthorhombic	509.829422	58.0	mmm	NaN	NaN	NaN	NaN	NaN

Fonte: Autoria própria

Figura 5 - DataFrame com as novas colunas de *Method*, *elasticity*, *spacegroup* e seus respectivos valores

elastic_anisotropy	universal_anisotropy	poisson_ratio	Method	warnings	C11	C12	C13	C14	C15	C16	C21	C22	C23	C24	C25	C26
NaN	NaN	NaN	NaN	NaN	NaN	NaN	NaN	NaN	NaN	NaN	NaN	NaN	NaN	NaN	NaN	NaN
0.22	0.22	0.22	DFT	NaN	167.804222	70.389204	49.418412	0.000006	0.0	0.0	70.389204	167.804222	49.418412	0.0	-0.000005	0.0
0.01	0.01	0.19	DFT	NaN	186.213145	38.590199	38.590199	0.000000	0.0	0.0	38.601216	186.220569	38.601216	0.0	0.000000	0.0
0.20	0.20	0.24	DFT	NaN	132.370197	60.584140	27.470937	0.000000	0.0	0.0	59.502663	133.880264	27.905192	0.0	0.000000	0.0
0.38	0.38	0.22	DFT	NaN	86.080589	34.968520	34.968567	0.000000	0.0	0.0	34.960180	86.053022	34.960149	0.0	0.000000	0.0
...
NaN	NaN	NaN	NaN	NaN	NaN	NaN	NaN	NaN	NaN	NaN	NaN	NaN	NaN	NaN	NaN	NaN
NaN	NaN	NaN	NaN	NaN	NaN	NaN	NaN	NaN	NaN	NaN	NaN	NaN	NaN	NaN	NaN	NaN
0.41	0.41	0.37	DFT	NaN	140.329484	94.081719	103.654049	0.000000	0.0	0.0	92.963969	169.610283	87.755593	0.0	0.000000	0.0
1.11	1.11	0.57	DFT	NaN	98.541017	170.864924	170.864924	0.000000	0.0	0.0	170.864924	98.541017	170.864924	0.0	0.000000	0.0
NaN	NaN	NaN	NaN	NaN	NaN	NaN	NaN	NaN	NaN	NaN	NaN	NaN	NaN	NaN	NaN	NaN

Fonte: Autoria própria

Figura 6 - DataFrame com as novas colunas de *Method*, *elasticity*, *spacegroup* e seus respectivos valores

C31	C32	C33	C34	C35	C36	C41	C42	C43	C44	C45	C46	C51	C52	C53	C54	C55	C56	C61	C62	C63	C64	C65	C66
NaN	NaN	NaN	NaN	NaN	NaN	NaN	NaN	NaN	NaN	NaN	NaN	NaN	NaN	NaN	NaN	NaN	NaN	NaN	NaN	NaN	NaN	NaN	NaN
51.912518	51.912518	167.624716	0.000019	0.000019	0.0	0.000000	1.413079e-07	0.000000	62.359826	-3.964194e-07	7.065399e-08	1.413079e-07	0.000000	3.964194e-07	62.359826	7.065399e-08	0.920994	0.000000	0.0	-8.142580e-09	92.094019		
38.593454	38.593454	186.213448	0.000000	0.000000	0.0	0.010863	4.175399e-03	0.000328	66.327780	0.000000e+00	0.000000e+00	4.610909e-03	0.011125	0.000777	0.000000e+00	66.327454	0.000000e+00	0.044883	0.01448	0.011805	0.0	0.000000e+00	66.325966
27.566648	27.566648	137.841489	0.000000	0.000000	0.0	-0.000077	1.800954e-04	0.000020	47.32072	0.000000e+00	0.000000e+00	3.160339e-05	0.000069	0.000069	0.000000e+00	47.279779	0.000000e+00	-0.045384	-0.015270	0.0	0.000000e+00	0.0	36.004502
34.964214	34.964214	88.066357	0.000000	0.000000	0.0	-0.096626	-3.267627e-02	-0.082699	44.594887	0.000000e+00	0.000000e+00	8.267729e-02	0.096626	0.082670	0.000000e+00	44.595711	0.000000e+00	0.000000	0.000000	0.000000	0.0	0.000000e+00	44.595288
...
NaN	NaN	NaN	NaN	NaN	NaN	NaN	NaN	NaN	NaN	NaN	NaN	NaN	NaN	NaN	NaN	NaN	NaN	NaN	NaN	NaN	NaN	NaN	NaN
NaN	NaN	NaN	NaN	NaN	NaN	NaN	NaN	NaN	NaN	NaN	NaN	NaN	NaN	NaN	NaN	NaN	NaN	NaN	NaN	NaN	NaN	NaN	NaN
03.264366	87.645093	195.655016	0.000000	0.000000	0.0	0.000018	-2.051326e-05	-0.000014	37.884876	0.000000e+00	0.000000e+00	-1.455003e-05	-0.000028	-0.000007	0.000000e+00	34.227856	0.000000e+00	-0.000288	-0.001838	0.0	0.000000e+00	22.145306	
70.864924	170.864924	98.541017	0.000000	0.000000	0.0	0.000000	0.000000e+00	0.000000	-14.292538	0.000000e+00	0.000000e+00	0.000000	0.000000	0.000000	0.000000e+00	-14.292538	0.000000e+00	0.000000	0.000000e+00	0.0	0.000000e+00	-14.292538	

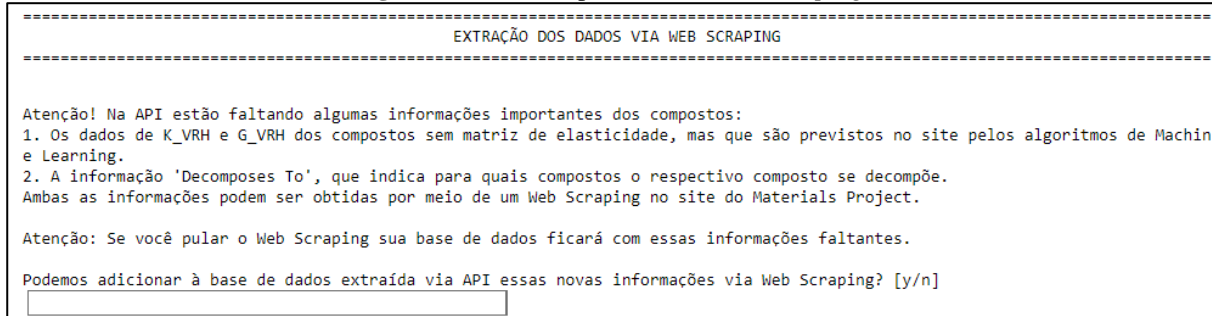
Fonte: Autoria própria

A extração via API permitiu a geração de uma base de dados local bem ampla e de forma eficiente e rápida, ficando faltantes apenas os valores de *KVRH* e *GVRH* não calculados no sistema do *Materials Project*, além da informação de se tal composto é estável ou se decompõe para outro(s) composto(s) mais estáveis.

4.3 Web Scraping e planilha final

Em seguida o programa pergunta ao usuário se tem interesse em fazer o *Web Scraping* para coletar essas informações faltantes, ou se ele deseja pular tal etapa. Isso pois o *Web Scraping* dessas informações está na ordem de 600 dados e levou cerca de 15 minutos para coletar todos os dados e preencher os *DataFrames* com a informação faltante. Isso mostrou o quanto mais efetivo é extrair dados diretamente de uma API do que coletando-os via *Web Scraping*. No entanto, como os dados previstos de KVRH e GVRH por *Machine Learning* não estavam disponíveis na API e são pertinentes para a análise do conjunto mais completo de informações, este foi o caminho encontrado para extrair tais informações da plataforma e adicioná-las nos itens faltantes do *DataFrame*. Na Figura 7 podemos ver a interface para a extração via *Web Scraping*. Espera-se que o programa leve 12 minutos em média para realizar a extração destas informações complementares, com condições de computador e internet semelhantes.

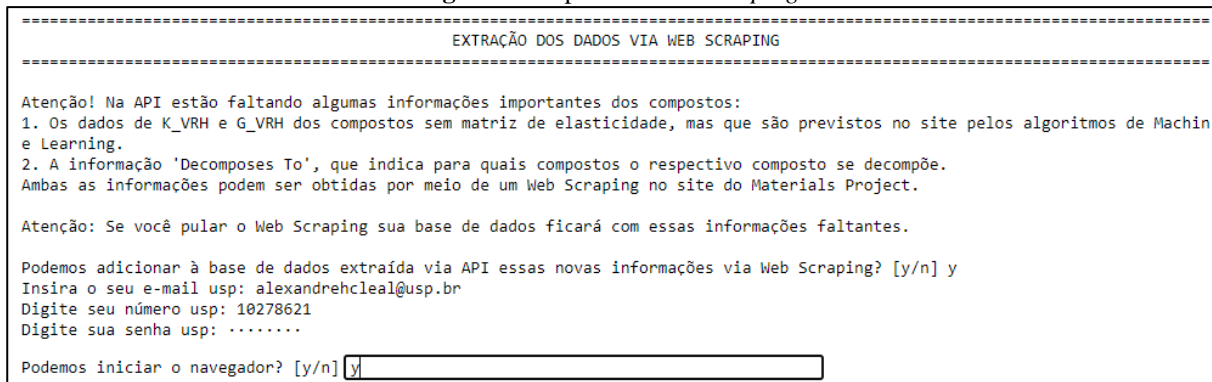
Figura 7 – Interface para rodar o Web Scraping



Fonte: Autoria própria

Após decidir fazer o *Web Scraping*, o usuário terá de colocar suas credenciais USP como na Figura 8.

Figura 8 – Inputs do Web Scraping

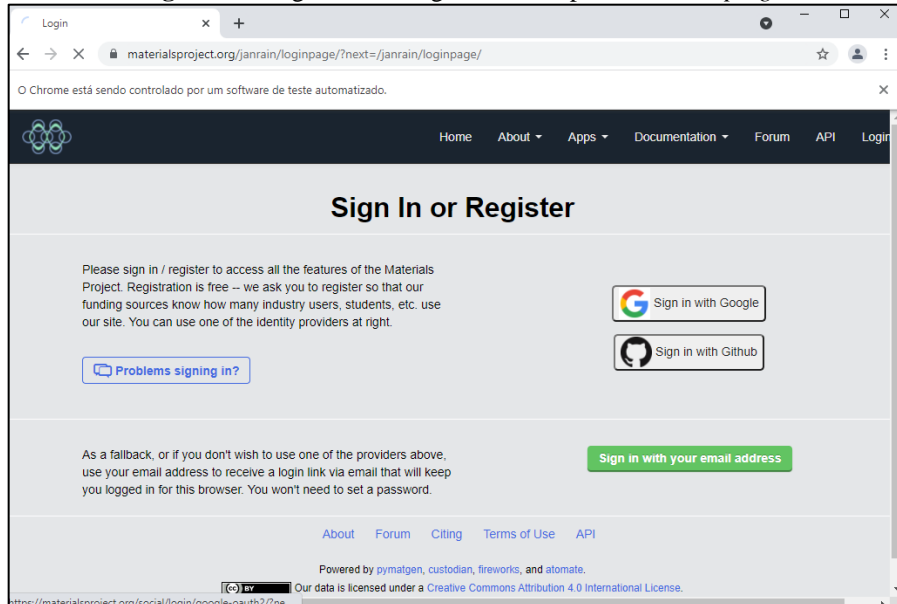


Fonte: Autoria própria

Esses inputs são necessários pois para conseguir obter as informações previstas por ML dos parâmetros KVRH e GVRH, isso pois, para conseguir visualizar e em seguida extrair tais dados

é necessário que o navegador esteja logado no site. Caso o navegador não esteja logado tais informações não irão aparecer! Buscando contornar o problema o *software* é capaz de, com esses dados, realizar o login utilizando o login com Google disposto na Figura 9. Após inserir as credenciais e permitir que o navegador inicie, o programa irá abrir uma aba anônima no Google Chrome controlada automaticamente na URL do login com Google, igual a que está exposta na Figura 9.

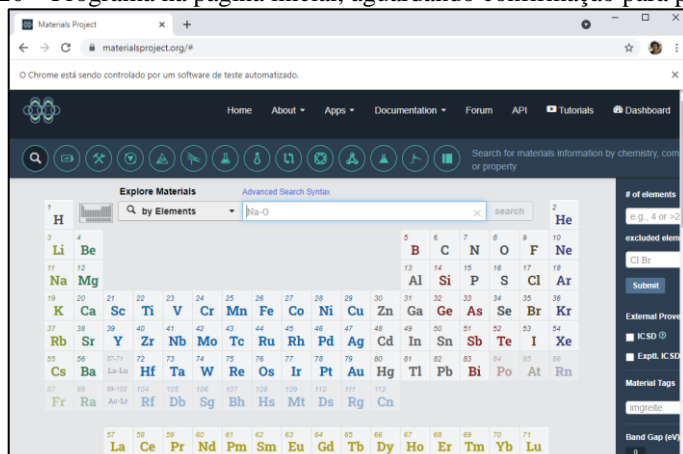
Figura 9 – Login com Google utilizado pelo Web Scraping



Fonte: Autoria própria

Em seguida irá navegar até a URL da Figura 9 e iniciar o processo automático de login, inserindo e-mail, clicando no botão de entrar, inserindo as credenciais USP e em seguida confirmando no botão. Após essas etapas o programa estará finalmente na página principal do *Materials Project* só que aguardando uma confirmação para prosseguir, como está disposta na Figura 10.

Figura 10 – Programa na página inicial, aguardando confirmação para prosseguir



Fonte: Autoria própria

Note que na Figura 10 uma imagem da conta apareceu no lugar do ícone cinza, isso indica o login que foi realizado pelo programa. No entanto, durante 2 semanas o botão de login do site não estava funcionando e levava para uma URL legado que não estava funcionando. Para contornar este problema, é pedido para o usuário que se certifique de que está na página principal e logado, como no exemplo da Figura 10, para então inserir ok e prosseguir, como pode ser visualizado na Figura 11.

Figura 11 – Programa aguardando a validação de que está na página principal do *Materials Project* e pode prosseguir com o Web Scraping

```
=====
EXTRAÇÃO DOS DADOS VIA WEB SCRAPING
=====

Atenção! Na API estão faltando algumas informações importantes dos compostos:
1. Os dados de K_VRH e G_VRH dos compostos sem matriz de elasticidade, mas que são previstos no site pelos algoritmos de Machine Learning.
2. A informação 'Decomposes To', que indica para quais compostos o respectivo composto se decompõe.
Ambas as informações podem ser obtidas por meio de um Web Scraping no site do Materials Project.

Atenção: Se você pular o Web Scraping sua base de dados ficará com essas informações faltantes.

Podemos adicionar à base de dados extraída via API essas novas informações via Web Scraping? [y/n] y
Insira o seu e-mail usp: alexandrehcleal@usp.br
Digite seu número usp: 10278621
Digite sua senha usp: .....
Podemos iniciar o navegador? [y/n] y
Assim que deixar na página principal logada digite ok: 
```

Fonte: Autoria própria

O “ok” pedido pelo programa na Figura 11 permite que o usuário utilize outros meios para realizar o Login além das credenciais USP, podendo realizar o login com um e-mail qualquer, copiando o link enviado no e-mail para o navegador automático, tornando o programa mais flexível para outras pessoas realizarem logins de forma diferentes.

Após a permissão do usuário ser concedida, o programa continuará a comandar o navegador de forma automática extraindo os dados de decomposição e previsões por *Machine Learning* dos parâmetros KVRH e GVRH para todos os compostos binários extraídos via API presentes no *DataFrame*. O começo dessa extração pode ser visto na Figura 12.

Figura 12 – Extração dos dados via *Web Scraping*

```
=====
EXTRAÇÃO DOS DADOS VIA WEB SCRAPING
=====

Atenção! Na API estão faltando algumas informações importantes dos compostos:
1. Os dados de K_VRH e G_VRH dos compostos sem matriz de elasticidade, mas que são previstos no site pelos algoritmos de Machine Learning.
2. A Informação 'Decomposes To', que indica para quais compostos o respectivo composto se decompõe.
Ambas as informações podem ser obtidas por meio de um Web Scraping no site do Materials Project.

Atenção: Se você pular o Web Scraping sua base de dados ficará com essas informações faltantes.

Podemos adicionar à base de dados extraída via API essas novas informações via Web Scraping? [y/n] y
Insira o seu e-mail usp: alexandrehcleal@usp.br
Digite seu número usp: 10278621
Digite sua senha usp: .....
Podemos iniciar o navegador? [y/n] y
Assim que deixar na página principal logada digite ok: ok
Composto: 0
Id: mp-7822
Decomposes To: Stable

Composto: 1
Id: mp-2841
Decomposes To: ScSi + Si

Composto: 2
Id: mp-9969
Decomposes To: Stable

Composto: 3
Id: mp-1190215
Decomposes To: ScSSi3
K_VRH: 73.37 GPa, G_VRH: 49.09 GPa
```

Fonte: Autoria própria

O final da extração está disposto na Figura 13, com 633,71 segundos de execução. Sendo o maior tempo registrado pela máquina para executar *Web Scraping* foi 1411,92 tendo uma média considerável de 12 minutos. Os dados faltantes foram adicionados ao DataFrame, resultando nas colunas exibidas na Figura 14, assim como a indicação do método ML para os casos em que o K_{VRH} e G_{VRH} foram previstos por *Machine Learning*.

Figura 13 – Finalização da execução do *Web Scraping* e geração da base de dados local

```
Composto: 249
Id: mp-10871
Decomposes To: AlAu

Composto: 250
Id: mp-30550
Decomposes To: AlAu2
K_VRH: 123.97 GPa, G_VRH: 31.26 GPa

Podemos fechar o navegador? [y/n]y

DataFrame editado com sucesso!

Tempo de execução --- 633.71 seconds ---
DataFame após a inclusão dos dados coletados pelo Web Scraping:
```

Fonte: Autoria própria

A coluna *Method* indica se o K_{VRH} e G_{VRH} foram previstos por ML ou calculados por DFT, note que para as linhas que possuem apenas K_{VRH} e G_{VRH} o método foi ML e as informações foram coletadas via *Web Scraping*.

Figura 14 – DataFrame final com os valores de K_{VRH} e G_{VRH} obtidos por ML via *Web Scraping*

G_VRH	G_Voigt	K_Reuss	K_VRH	K_Voigt	elastic_anisotropy	universal_anisotropy	poisson_ratio	Method
72.00	72.0	88.0	89.00	90.0	0.08	0.08	0.18	DFT
-83.00	18.0	100.0	103.00	107.0	-5.41	-5.41	1.05	DFT
70.00	74.0	101.0	101.00	101.0	0.64	0.64	0.22	DFT
49.09	NaN	NaN	73.37	NaN	NaN	NaN	NaN	ML
59.20	NaN	NaN	89.73	NaN	NaN	NaN	NaN	ML
...
27.24	NaN	NaN	118.00	NaN	NaN	NaN	NaN	ML
26.84	NaN	NaN	114.50	NaN	NaN	NaN	NaN	ML
26.78	NaN	NaN	114.40	NaN	NaN	NaN	NaN	ML
-3.00	2.0	38.0	39.00	40.0	-6.31	-6.31	0.53	DFT
12.00	15.0	13.0	15.00	17.0	3.46	3.46	0.18	DFT

Fonte: Autoria própria

Após isso, as colunas com o Módulo de Young e Coeficiente de Poisson são calculadas e adicionadas ao *DataFrame*, a Figura 15 mostra um recorte do *DataFrame* com essas novas colunas e seus respectivos valores. Por fim o *DataFrame* final é transformado em uma aba da

planilha. A planilha com todos os *DataFrames* relevantes é gerada ao final, formando a base de dados local.

Figura 15 – Coluna Decomposes_To obtida via *Web Scraping* e colunas E_Young e Coef_Poisson calculadas com os valores extraídos de KVRH e GVRH obtidos por DFT ou ML.

C65	C66	Decomposes_To	E_Young	Coef_Poisson
0.0	77.346971	Stable	170.123894	0.181416
0.0	-18.798929	ScSi + Si	-340.446903	1.050885
0.0	59.169670	Stable	170.589812	0.218499
NaN	NaN	Sc5Si3	120.414561	0.226467
NaN	NaN	Sc5Si3 + ScSi	145.583434	0.229590
...
NaN	NaN	Au + Si	75.881020	0.392823
NaN	NaN	Au + Si	74.684398	0.391289
NaN	NaN	Au + Si	74.524807	0.391427
0.0	10.268203	Hg + Si	-9.236842	0.539474
0.0	7.401528	Hg + Si	28.421053	0.184211

Fonte: Autoria própria

4.3.1 Geração da base de dados local

A base de dados local foi gerada ao longo de toda a execução do programa, nela as versões relevantes dos *DataFrames*, os das Figuras Figura 3, Figura 4, Figura 14 e Figura 15, foram salvos no formato de abas ao longo de um único arquivo Excel. Por fim, um único arquivo Excel com essas abas foi gerado. As Figuras 16, 17, 18 e 19 mostram as abas do arquivo gerado como base de dados.

Figura 16 – Aba gerada a partir do primeiro *DataFrame* extraído da API

Fonte: Autoria própria

Ao longo do processo algumas transformações e novas extrações foram necessárias. A primeira extração via API permitiu obter muitos dados condensados na forma de dicionários dentro das colunas *spacegroup* e *elasticity* que precisaram ser alocados em novas colunas para facilitar a visualização originando a tabela da Figura 17.

Figura 17 – Aba referente ao *DataFrame* transformado, com os valores das colunas *spacegroup* e *elasticity* explodidos em mais colunas

A	B	C	D	E	F	G	H	I	J	K	L	M	N	O	P	Q	R	S	T	U	V	W	X	Y	Z	AA	AB	AC					
material	lämpy	tempi	magnezzia	energy	density	latit	cytallat	volumegroß	maxpoint	gross	G	Reuss	G	VonMises	G	VonMises	G	VonMises	anisotropic	anisotropic	anisotropic	anisotropic	Method	warnings	C11	C12	C13	C14	C15	C16	C21	C22	
0	mp-7822	Se5513	0.010238	-0.7876	3.25025	hexagona	315.5925	153 / 56 mm	72	72	72	72	88	90	0.08	0.08	0.08	0.08	0.08	0.08	0.08	0.08	0.08	0.08	0.08	0	0	3.596e-06	50.13116	208.308	358		
1	mp-2841	Se5513	0.004660	-0.7876	3.10505	hexagona	50.7994	151 / 56 mm	-184	-83	-83	100	103	107	-5.41	-5.41	-5.41	-5.41	-5.41	-5.41	-5.41	-5.41	-5.41	-5.41	0	0	133.2547	168.5165	74.70809	129.139			
2	mp-11902	Se5513	0.004660	-0.7876	3.08241	hexagona	119.0243	151 / 56 mm	-66	70	74	101	101	101	0.64	0.64	0.64	0.64	0.64	0.64	0.64	0.64	0.64	0.64	0.64	0	0	43.00707	235.1778	39	179		
3	mp-11902	Se5513	0.004660	-0.7876	3.12645	hexagona	119.0243	151 / 56 mm	-73	817	817	817	817	817	0.64	0.64	0.64	0.64	0.64	0.64	0.64	0.64	0.64	0.64	0.64	0	0	172.0125	43.79519	78.96269	3		
4	mp-12090	Si5514	0.017013	-0.7837	3.02952	hexagona	68.9403	62 mm																									
5	mp-100977	Si5514	0.000015	0.492302	3.06405	cubic	58.86486	216 -43 mm	-31	-31	-31	28	28	28	0.04	0.04	0.04	0.04	0.04	0.04	0.04	0.04	0.04	0.04	-8,55693	46.91112	46.91112	0	0	0	46.91112	-8,55693	0
6	mp-7092	Ti5212	0.0085 -0.0705	0.24209	3.04509	cubic	119.4251	62 mm	95	99	102	145	146	146	0.37	0.37	0.37	0.37	0.37	0.37	0.37	0.37	0.37	0.37	0.37	0	0	72.8415	89.655	110.706	70		
7	mp-99908	Ti5212	0.000015	0.24209	3.04509	cubic	119.4251	62 mm																									
8	mp-99908	Ti5212	0.000015	0.24209	3.04509	cubic	119.4251	62 mm																									
9	mp-2582	Ti5212	1.56 -0.0531	0.041643	3.07034	tetragona	70.7374	70 mm	107	111	113	141	143	143	0.4	0.4	0.4	0.4	0.4	0.4	0.4	0.4	0.4	0.4	0.4	0	0	307.4443	91.0199	24.8067	0		
10	mp-50552	Ti5212	0.000133	0.79165	4.25475	tetragona	549.0109	92.4422	94	95	95	95	95	95	0.42	0.42	0.42	0.42	0.42	0.42	0.42	0.42	0.42	0.42	0.42	0	0	272.0501	85.58027	69.5072	0		
11	mp-100977	Ti5212	0.000133	0.79165	4.25475	tetragona	549.0109	92.4422	71	71	71	71	71	71	0.67	0.67	0.67	0.67	0.67	0.67	0.67	0.67	0.67	0.67	0.67	0	0	202.2661	74.39997	70.53018	43.98808		
12	mp-22558	Ti5212	0.000133	0.79165	4.25475	tetragona	51.9488	226 -43 mm	27	7	27	72	73	73	7.29	7.29	7.29	7.29	7.29	7.29	7.29	7.29	7.29	7.29	7.29	0	0	44.50468	77.47113	77.47113	64.04966		
13	mp-22558	Ti5212	0.000133	0.79165	4.25475	tetragona	29.25972	65 mm	14	40	66	127	132	138	13.15	13.15	13.15	13.15	13.15	13.15	13.15	13.15	13.15	13.15	13.15	0	0	209.4289	95.33979	119.13709	0.42829		
14	mp-117573	Ti5212	0.000446	0.4178	5.70145	hexagona	134.7624	194 / 6 mm																									
15	mp-106374	Ti5212	0.000015	0.5089	0.5289	4.24434	tetragona	29.36887	38 mm																								
16	mp-106374	Ti5212	0.000015	0.5089	0.5289	4.24434	tetragona	29.36887	38 mm																								
17	mp-107752	Ti5212	3.36 -0.0531	0.042705	3.07034	tetragona	65.7913	63 mm	94	94	95	138	139	140	0.1	0.1	0.1	0.1	0.1	0.1	0.1	0.1	0.1	0.1	0.1	0	0	-1.8E-06	110.595	280.806	0		
18	mp-107752	Ti5212	3.36 -0.0531	0.042705	3.07034	tetragona	65.7913	63 mm	-134	-60	13	132	132	132	-5.5	-5.5	-5.5	-5.5	-5.5	-5.5	-5.5	-5.5	-5.5	-5.5	-5.5	0	0	286.3347	55.2504	55.2504	55.2504		
19	mp-51721	Ti5513	0.005943	0.653447	5.312564	tetragona	211.3785	140 / 30 mm	59.6159	229 -3 mm	-134	-60	13	132	132	132	0.77	0.77	0.77	0.77	0.77	0.77	0.77	0.77	0.77	0.77	0.77	0	0	55.25151	286.338	286.338	0
20	mp-51721	Ti5513	0.011043	0.653447	5.312564	tetragona	114.9976	181.522 mm																									
21	mp-50667	VSS1	0.005837	-0.5948	5.37023	tetragona	209.2726	140 / 26 mm	118	120	122	159	159	159	0.14	0.14	0.14	0.14	0.14	0.14	0.14	0.14	0.14	0.14	0.14	0	0	384.0113	180.3778	102.0994	-8.2E-06		
22	mp-50667	VSS1	0.005837	-0.5948	5.37023	tetragona	209.2726	140 / 26 mm	118	120	122	159	159	159	0.14	0.14	0.14	0.14	0.14	0.14	0.14	0.14	0.14	0.14	0.14	0	0	10.20235	402.1573	99.55688	0		
23	mp-107112	VSS1	0.011370	-0.45868	4.06488	tetragona	114.9779	180.522	146	147	148	174	174	174	0.5	0.5	0.5	0.5	0.5	0.5	0.5	0.5	0.5	0.5	0.5	0	0	365.4096	57.60779	73.36666	56.51137		
24	mp-2597	VSS1	0.083823	-0.45868	4.06488	tetragona	101.9808	223 mm	73	74	74	196	196	196	0.11	0.11	0.11	0.11	0.11	0.11	0.11	0.11	0.11	0.11	0.11	0	0	313.2388	137.0316	137.0316	0		
25	mp-504848	VSS1	0.028433	0.531176	5.30265	tetragona	212.9343	193 / 6 mm	50	57	64	183	184	184	1.43	1.43	1.43	1.43	1.43	1.43	1.43	1.43	1.43	1.43	1.43	0	0	281.3263	208.6623	282.887	287.000		
26	mp-22558	VSS1	0.005943	0.653447	5.312564	tetragona	114.9779	180.522	146	147	148	174	174	174	0.07	0.07	0.07	0.07	0.07	0.07	0.07	0.07	0.07	0.07	0.07	0	0	209.4289	95.33979	119.13709	0.42829		
27	mp-22558	VSS1	0.005943	0.653447	5.312564	tetragona	114.9779	180.522	146	147	148	174	174	174	0.07	0.07	0.07	0.07	0.07	0.07	0.07	0.07	0.07	0.07	0.07	0	0	209.4289	95.33979	119.13709	0.42829		
28	mp-722	C951	0.000511	-0.34114	6.625511	tetragona	92.7788	223 -3 mm	153	154	155	249	249	249	0.06	0.06	0.06	0.06	0.06	0.06	0.06	0.06	0.06	0.06	0.06	0	0	482.5033	131.5985	131.5985	0		
29	mp-1222	C951	2.16 -0.0657	5.20675	0.000511	tetragona	107.3237	180 / 22 mm	156	156	157	195	196	196	0.02	0.02	0.02	0.02	0.02	0.02	0.02	0.02	0.02	0.02	0.02	0	0	402.7472	85.10745	105.40905	0		
30	mp-111501	C951	1.40 -0.0658	0.000511	5.20675	tetragona	107.3237	180 / 22 mm	156	157	158	195	196	196	0.18	0.18	0.18	0.18	0.18	0.18	0.18	0.18	0.18	0.18	0.18	0	0	359.3217	111.8051	95.11626	0		
31	mp-111501	C951	1.40 -0.0658	0.000511	5.20675	tetragona	107.3237	180 / 22 mm	156	157	158	195	196	196	0.18	0.18	0.18	0.18	0.18	0.18	0.18	0.18	0.18	0.18	0.18	0	0	359.3217	111.8051	95.11626	0		
32	mp-56796	M15514	0.007618	0.472	5.23111	tetragona	134.8434	84.18	112	133	133	224	224	224	0.07	0.07	0.07	0.07	0.07	0.07	0.07	0.07	0.07	0.07	0.07	0	0	41.0551	45.1163	113.1943	0		
33	mp-60855	M15514	0.005313	-0.1598	5.70095	tetragona	649.2179	92.422																									
34	mp-752	M15514	0.008208	0.4299	5.234084	tetragona	981.5053	122 -42 mm																									
35	mp-752	M15514	0.008208	0.4299	5.234084	tetragona	666.4912	92.422																									
36	mp-100977	Si5514	0.000015	0.492302	3.06405	cubic	58.86486	216 -43 mm	-31	-31	-31	28	28	28	0.04	0.04	0.04	0.04	0.04	0.04	0.04	0.04	0.04	0.04	0.04	0	0	280.679	105.33074	105.33074	0		
37	Dados iniciais	Dados com elasticidade	Dados completos	Dados calculados																													
38	mp-2341	Si5514	0.000015	0.492302	3.06405	cubic	58.86486	216 -43 mm	-31	-31	-31	28	28	28	0.04	0.04	0.04	0.04	0.04	0.04	0.04	0.04	0.04	0.04	0.04	0	0	105.33074	105.33074	105.33074	0		

Fonte: Autoria própria

No entanto, mesmo após a extração via API os dados de KVRH e GVRH estavam faltantes para alguns compostos, além dos dados de decomposição. Para isso o *Web Scraping* dessas informações foi realizado originando a aba da Figura 18.

Figura 18 – Aba referente ao *DataFrame* completo com a decomposição do composto e seus valores previstos de K_{VRH} e G_{VRH} extraídos via *Web Scraping*

Fonte: Autoria própria

Por fim, alguns parâmetros como o Módulo de Young e Coeficiente de Poisson precisavam ser calculados para todos os compostos, utilizando seus módulos de cisalhamento e volume, o que resultou na última aba representada pela Figura 19.

Figura 19 – Aba referente ao *DataFrame* final com as colunas de Módulo de Young e Coeficiente de Poisson também calculados

	A	B	C	D	E	F	G	H	I	J	K	L	M	N	O	P	Q	R	S	T	U	V	W	X	Y	Z	AA	AB
0	mp-7823 Ti554	0,000000	-0,261000	4,640000	hexagonal	density	rho	systemgroup	metals	group	G	Reuter	G_Vibr	K_Rule	K_Vibr	K_Wire	K_Bc	K_Crystal	K_Diamond	K_FCC	K_HCP	K_Metals	K_PtMetals	K_SiC	K_Si	K_SiO2	K_Si3N4	
1	mp-99995 Sds1	0,004000	-0,7376	3,306053 hexagonal							191	6/mm	-184	-83	18	103	89	96	0,08	0,08	1,05 DFT	SchS + Si	-340,4400027	1,05084895	131,2547	108,1345	87,46708	
2	mp-99995 Sds1	0,000137	-0,8376	3,306053 orthorhombic						66	3D	63	mmmc	66	70	74	101	101	101	0,41	0,41	0,22 DFT	Stable	170,5889123	1,18849866	172,0125	41,7519	76,30283
3	mp-11902 Scs553	1,107607	0,2953	3,038162 hexagonal						377,817	3D	6/mm	63	mmmc	63	63	73,37	73,37	73,37	0,64	0,64	0,22 DFT	Stable	170,5889123	1,18849866	172,0125	41,7519	76,30283
4	mp-11902 Scs553	0,000000	0,000000	3,038162 cubic						62	3D	6/mm	62	mmmc	62	62	59,12	59,12	59,12	0,64	0,64	0,22 DFT	Stable	170,5889123	1,18849866	172,0125	41,7519	76,30283
5	mp-10097 Scs1	1,000013	0,492302	2,060451 cubic						216	43m	-31	-31	28	28	28	0,04	0,04	1,35 DFT	SchS + Si	-147,3923924	1,377358491	-8,05956	46,93112	46,93112			
6	mp-7092 Tis1	1,08E-05	-0,77000	4,242430 hexagonal						62	mmmc	95	99	102	145	146	146	0,37	0,37	0,22 DFT	Stable	242,4405101	0,233463867	272,8413	68,9553	110,7026		
7	mp-98042 Ti525	0,002049	-0,49641	4,353563 tetragonal						86	4/m	49	74,38	86	86	127,3	127,3	127,3	0,64	0,64	0,22 DFT	Stable	186,7605697	0,235479092	249,3590734	0,198841699	262,5261	
8	mp-11902 Scs553	1,107607	0,2953	3,038162 hexagonal						59	3D	60	mmmc	59	60	144	144	144	1,09	1,09	0,31 DFT	Ti53 + Ti	146,090873	0,233463867	186,3849	123,2116	123,1216	
9	mp-23827 Tis2	1,36E-05	0,35351	4,045143 orthorhombic						70	mmmc	107	111	115	141	143	144	0,4	0,4	0,19 DFT	Ti53 + Ti	146,090873	0,233463867	207,6322	50,354384	25,34572		
10	mp-50552 Ti554	0,000113	-0,73765	4,245475 tetragonal						92,422	94	95	95	95	95	142	142	142	0,06	0,06	0,23 DFT	Stable	233,0326296	0,226447523	272,0503	85,58027	69,35072	
11	mp-37099 Ti552	1,36E-06	-0,38321	4,046641 orthorhombic						71	mmmc	98	104	111	137	138	138	0,67	0,67	0,22 DFT	Ti53	146,090873	0,233463867	249,3590734	0,198841699	262,5261		
12	mp-11902 Scs553	0,000002	0,000002	3,545653 cubic						32,35	3D	32,35	mmmc	32,35	32,35	49	49	49	0,49	0,49	0,22 DFT	Stable	146,090873	0,233463867	249,3590734	0,198841699	262,5261	
13	mp-23548 Ti554	0,000005	-0,32329	4,245475 hexagonal						65	mmmc	14	49	49	66	127	127	130	130	130	0,15 DFT	Ti53 + Ti	146,090873	0,233463867	249,3590734	0,198841699	262,5261	
14	mp-11875 Ti554	0,002448	-0,46178	4,370183 hexagonal						134,7624	134,7624	134	6/mm	77,8	110,2	110,2	110,2	110,2	110,2	0,15 DFT	Ti53 + Ti	146,090873	0,233463867	249,3590734	0,198841699	262,5261		
15	mp-106531 Ti554	0,010691	-0,5289	4,249444 orthorhombic						38	mmmc	83,53	83,53	83,53	83,53	83,53	83,53	138,5	138,5	138,5	0,15 DFT	Ti53 + Ti	146,090873	0,233463867	249,3590734	0,198841699	262,5261	
16	mp-2108 Ti554	0,019103	-0,77700	4,374709 hexagonal						247,2158	247,2158	247	6/mm	94	94	95	139	140	140	0,1	0,1	0,22 DFT	Stable	208,4505101	0,233463867	280,6759	110,4105	52,61451
17	mp-11902 Scs553	0,000005	-0,32329	4,245475 hexagonal						63	mmmc	84,06	84,06	84,06	84,06	84,06	84,06	138,0	138,0	138,0	0,15 DFT	Ti53 + Ti	146,090873	0,233463867	249,3590734	0,198841699	262,5261	
18	mp-57212 Vss1	0,002941	0,033447	5,038076 cubic						229	m-3m	-134	-9	13	132	132	132	-5,5	-5,5	0,77 DFT	Vss1	-21,6939367	0,349528035	286,3347	55,2560	55,2560		
19	mp-11881 Vss1	0,048333	-0,5514	5,332641 tetragonal						211,3768	211,3768	210	4/mmm	96,83	127,1	127,1	127,1	127,1	127,1	0,15 DFT	Vss1	244,6136823	0,26310895	286,3347	55,2560	55,2560		
20	mp-11199 Vss1	0,113040	-0,48585	4,640002 hexagonal						181,522	181,522	180	4/mmm	146	147	147	174	175	175	0,05	0,05	0,17 DFT	Vss1	344,53125	0,171875	365,5127	57,91284	73,64885
21	mp-11902 Scs553	0,000000	0,000000	3,545653 hexagonal						181,522	181,522	180	3D	181	181	181	0,1	0,1	0,15 DFT	Vss1 + V503	344,53125	0,171875	365,5127	57,91284	73,64885			
22	mp-56807 Vss1	0,00387	-0,38348	5,377232 tetragonal						118	2D	122	130	134	134	134	0,17	0,17	0,24 DFT	Stable	208,4505101	0,233463867	402,3958	102,2200	95,35068			
23	mp-30711 Vss2	0,113780	-0,48586	4,640086 hexagonal						180,522	180,522	146	147	148	176	176	176	0,05	0,05	0,17 DFT	Stable	344,0985447	0,17003587	365,4905	57,67679	73,36666		
24	mp-2567 Crs1	0,883825	-0,6466	5,778142 cubic						103,9800	103,9800	74	74	74	196	196	196	0,11	0,11	0,36 DFT	CrS1	171,18429	0,33232628	118,2388	137,0961	137,0961		
25	mp-11902 Scs553	0,000000	0,000000	3,545653 hexagonal						212,9340	212,9340	50	57	64	183	184	184	1,43	1,43	0,36 DFT	V503	154,9950739	0,263105513	281,9123	206,8623	79,11964		
26	mp-7375 Crs1	0,000000	0,000000	3,545653 hexagonal						181,522	181,522	181	181	181	187	187	187	0	0	0,36 DFT	CrS1 + CrS2	146,090873	0,233463867	146,090873	146,090873	146,090873		
27	mp-7508 Crs1	0,026983	-0,32797	6,048020 hexagonal						189,0274	189,0274	140	4/mmm	133	223	223	224	224	224	0,07	0,07	0,25 DFT	CrS1 + CrS2	333,072609	0,25217931	413,0551	146,4981	113,1943
28	mp-729 Crs2	0,000050	-0,34114	6,053011 cubic						212,9340	212,9340	153	154	155	249	249	249	0,06	0,06	0,24 DFT	CrS2	383,0346062	0,243618202	482,5023	131,985	131,985		
29	mp-1222 Crs2	2,3E-06	-0,36057	5,020576 hexagonal						175	2D	175	175	175	195	195	196	0,02	0,02	0,18 DFT	CrS2	369,709677	0,18543837	369,709677	104,5905	104,5905		
30	mp-11902 Scs553	0,000000	0,000000	3,545653 hexagonal						127	2D	127	127	127	181	181	181	0,02	0,02	0,17 DFT	CrS2	369,709677	0,18543837	369,709677	104,5905	104,5905		
31	mp-11191 Crs2	1,63E-06	-0,36058	5,021471 hexagonal						181,522	181,522	134	134	150	181	181	181	0,02	0,02	0,17 DFT	CrS2	389,4225251	0,168579237	359,3127	111,8031	95,11826		
32	mp-56796 Mn15Si19	0,007813	-0,42792	5,253311 tetragonal						180,522	180,522	98,8	100,8	101,8	161,6	161,6	161,6	ML	ML+Msi	229,5995533	0,263201779	368,798	45,93439	91,1834				
33	mp-60585 Mn15Si2	0,0045313	-0,33598	6,770996 tetragonal						92,422	92,422	84,43	84,43	87	170,1	170,1	170,1	ML	ML+Msi	217,3302448	0,28750463							
34	mp-5725 Mn15Si26	0,008201	-0,42491	5,248054 hexagonal						98,8	98,8	98,8	100,8	100,8	100,8	100,8	ML	ML+Msi	229,5358423	0,263105513								
35	mp-1024 Mn15Si22	0,000000	0,000000	3,022321 hexagonal						66,522	66,522	52,424	52,424	58,424	160,5	160,5	160,5	ML	ML+Msi	210,0324586	0,243618202							
36	mp-11191 Vss1	3,84E-03	-0,32008	7,023238 hexagonal						107	2D	107	107	107	204	204	204	0,03	0,03	0,28 DFT	Vss1	343,6318213	0,263105513					
37	Dados iniciais																											
	Dados com eletricidade																											
	Dados calculados																											

Fonte: Autoria própria

Finalmente após essa última aba ser gerada o arquivo Excel com todas as abas foi salvo finalizando a fase de extração, tratamento e armazenamento dos dados em uma base de dados local.

Dessa maneira ao fim da execução do programa de extração de dados, um Excel com todos os dados coletados e tratados foi gerado, permitindo guardar essas informações para futuras análises ou modelagens feitas a partir do próprio computador, sem ter que gastar tempo requisitando e coletando tais informações.

A geração das bases de dados poderia ser expandida para mais compostos binários, o trabalho focou em combinar alumínio, boro e silício com os trinta metais de transição listados, no entanto, dado um elemento químico qualquer pelo usuário e uma lista de combinação qualquer, toda combinação desejada de composto binário poderia ser extraída. Portanto, com leves ajustes no código o usuário pode alterar a lista de elementos químicos permitidos e inserir outros elementos além do Al, B e Si para combinar com a lista de metais de transição. Além disso, a lista de combinações também pode ser alterada para conter quaisquer materiais que se desejar combinar. Assim, o código com pequenos ajustes permite obter a base de dados local das propriedades elásticas retiradas do sistema de qualquer combinação binária desejada.

4.3.2 Geração de gráficos

A geração dos gráficos se deu por meio do segundo programa, feito exclusivamente

Para iniciar a geração das visualizações o usuário deve inserir na interface inicial do programa o elemento que ele irá analisar, escolhendo um dentre os elementos químicos disponíveis, como disposto na Figura 20.

Figura 20 – Interface inicial do programa gerador de visualizações aguardando o elemento químico desejado para análise

```
=====
INSTRUÇÕES
=====

Seja bem-vindo ao programa gerador de visualizações das bases de dados dos compostos binários metálicos!

As seguintes propriedades serão analisadas da sua tabela: formation_energy_per_atom, E_Young, poisson_ratio, K_VRH, G_VRH

=====
DEFININDO O ELEMENTO ANALISADO
=====

Para prosseguir basta escolher o elemento químico desejado.

Qual o elemento que será analisado [Al, B, Si]? 
```

Fonte: Autoria própria

No entanto, a geração dos gráficos se baseia em três listas: propriedades, títulos e legendas, para criar os gráficos personalizados para cada propriedade. Se por algum motivo, uma dessas três listas possuir um comprimento diferente dos demais uma mensagem de erro aparece informando que existe algum dado excedente ou faltante como na Figura 21.

Figura 21 – Fim da execução do programa gerado por listas de tamanho diferentes

```
=====
INSTRUÇÕES
=====

Seja bem-vindo ao programa gerador de visualizações das bases de dados dos compostos binários metálicos!

As seguintes propriedades serão analisadas da sua tabela: formation_energy_per_atom, E_Young, poisson_ratio, K_VRH

=====
DEFININDO O ELEMENTO ANALISADO
=====

Para prosseguir basta escolher o elemento químico desejado.

Qual o elemento que será analisado [Al, B, Si]? Al

O comprimento das listas de propriedades, títulos e legenda não é o mesmo! Para que o programa funcione é preciso que ambas as listas possuam o mesmo número de itens. Por favor revise as listas e adicione os itens faltantes ou exclua os excedentes.
A seguir estão o número de itens por lista:
Lista de propriedades: 4
Lista de títulos: 5
Lista de legendas: 5

An exception has occurred, use %tb to see the full traceback.

SystemExit
```

Fonte: Autoria própria

Após inserir o elemento químico desejado o programa filtra a base de dados e gera 5 novos *DataFrames* para cada propriedade da lista, um para cada uma das proporções definidas 25%, 33%, 50%, 66% e 75%. No exemplo da Figura 20, 25 *DataFrames* foram gerados durante a execução. Cada *DataFrame* possui 2 colunas, uma para a fórmula química do composto analisado e a outra para o valor da propriedade analisada. A

Figura 22 mostra o primeiro *DataFrame* “impresso” na tela, para as energias de formação dos compostos binários metálicos com 25% de Al. Assim como este os demais 24

DataFrames também foram gerados nesta etapa (APÊNDICE H) e serviram como base para a geração de seus respectivos gráficos.

Figura 22 – Primeiro *DataFrame* “impresso” na tela com as informações de energia de formação para os compostos binários de 25% de alumínio.

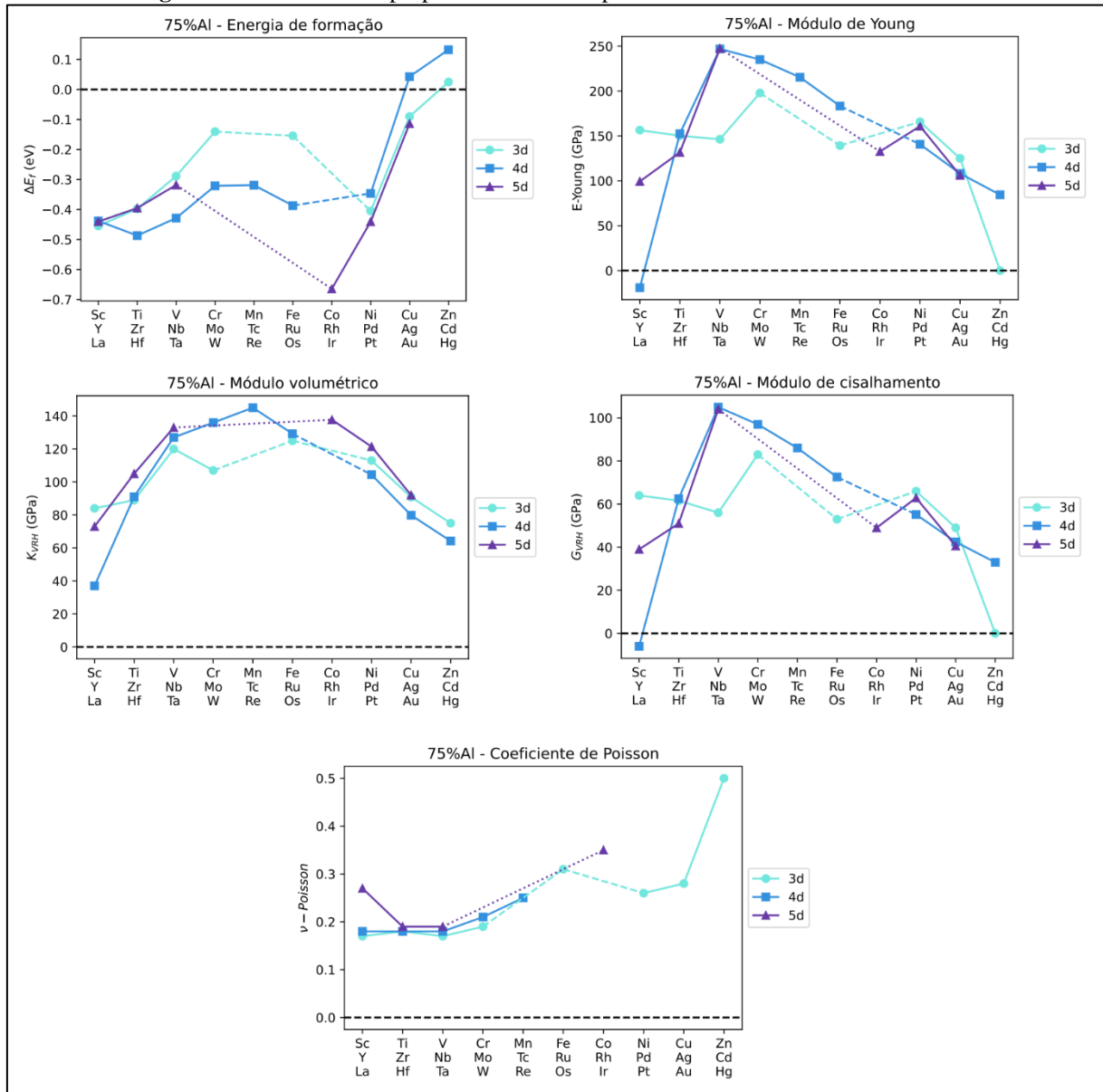
DEFININDO O ELEMENTO ANALISADO		
<hr/>		
Qual o elemento que será analisado [Al, B, Si]? Al		
Foram encontrados 21 compostos.		
Elementos faltantes no gráfico:25%Al		
49 elemento da 1ª linha		
10º elemento da 1ª linha		
65 elemento da 2ª linha		
3º elemento da 3ª linha		
4º elemento da 3ª linha		
5º elemento da 3ª linha		
6º elemento da 3ª linha		
7º elemento da 3ª linha		
10º elemento da 3ª linha		
Total: 9		
<hr/>		
pretty_formula formation_energy_per_atom		
235	AlPt3	-0.692685
169	AlPd3	-0.612381
155	AlRh3	-0.491680
76	AlNi3	-0.433437
115	Zr3Al	-0.296003
22	Ti3Al	-0.279486
8	Sc3Al	-0.268877
129	AlMo3	-0.241469
197	Hf3Al	-0.221002
183	La3Al	-0.201390
52	AlFe3	-0.199436
244	AlAu3	-0.197910
84	AlCu3	-0.189439
101	Y3Al	-0.185329
127	Nb3Al	-0.173775
60	AlCo3	-0.148929
25	AlV3	-0.135406
144	AlTc3	-0.112514
170	AlAg3	-0.073814
44	Mn3Al	-0.037628
176	AlCd3	0.102806

Fonte: Autoria própria

O mesmo processo pode ser feito para o Boro (B) e para o Silício (Si) já que suas bases também podem ser geradas com o programa de extração via API e *Web Scraping*. Assim todos os *DataFrames* e 75 gráficos puderam ser gerados, o (APÊNDICE H) consta todos os *DataFrames* pertencentes ao alumínio, mas para o boro e silício o formato da informação seria o mesmo.

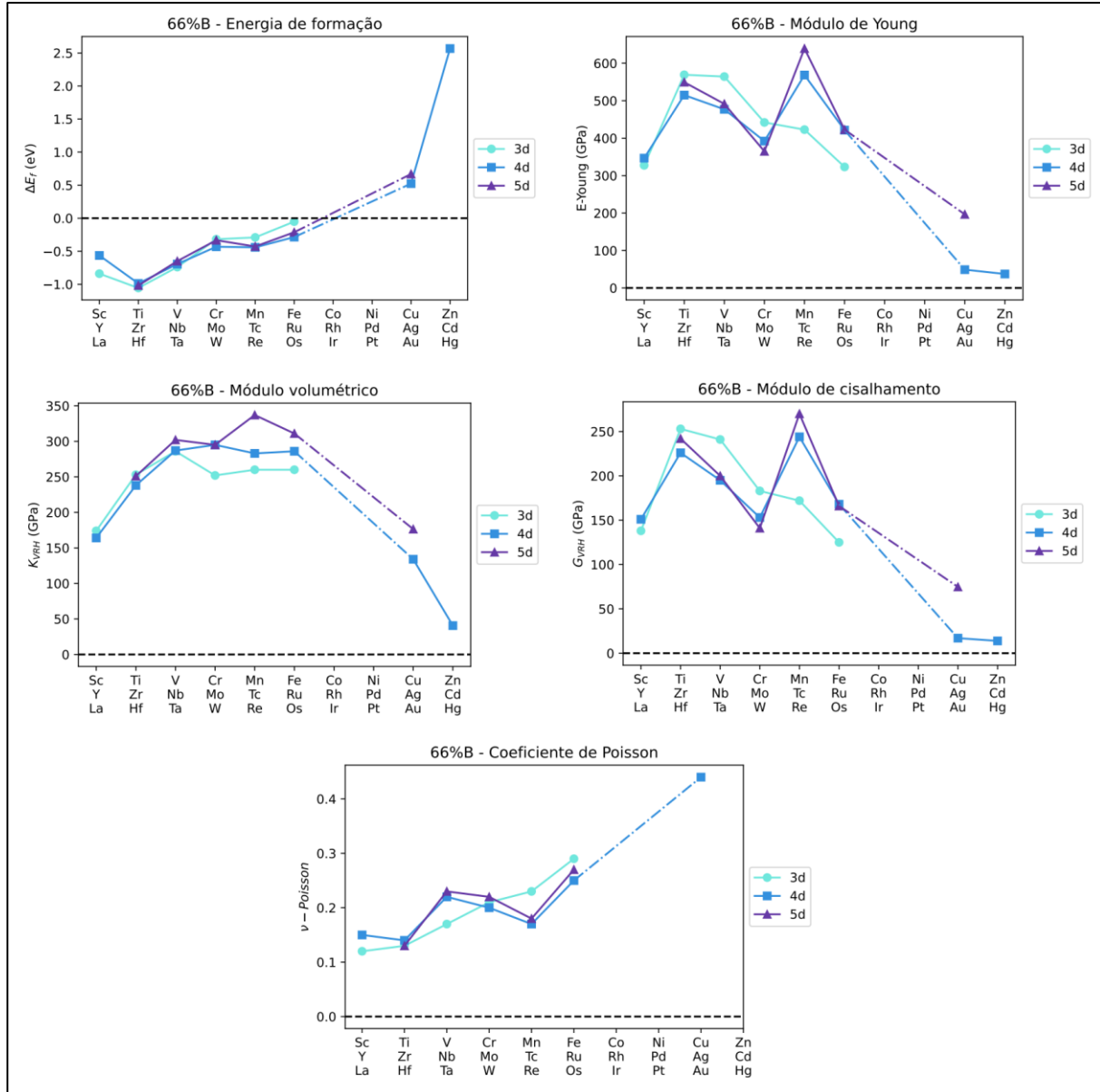
Com os 75 *DataFrames* gerados, seus respectivos 75 gráficos podem ser traçados. As Figuras 24, 25 e 26 contém os gráficos das propriedades das proporções com o maior número de compostos para o alumínio, boro e silício respectivamente. Por fim, o programa salva cada um dos gráficos individualmente como um arquivo PDF, permitindo o armazenamento de tais visualizações no computador. Os gráficos das demais composições dos compostos binários com alumínio, boro e silício podem ser encontrados no (APÊNDICE I).

Figura 23 – Gráficos das propriedades dos compostos binários com 75% de alumínio



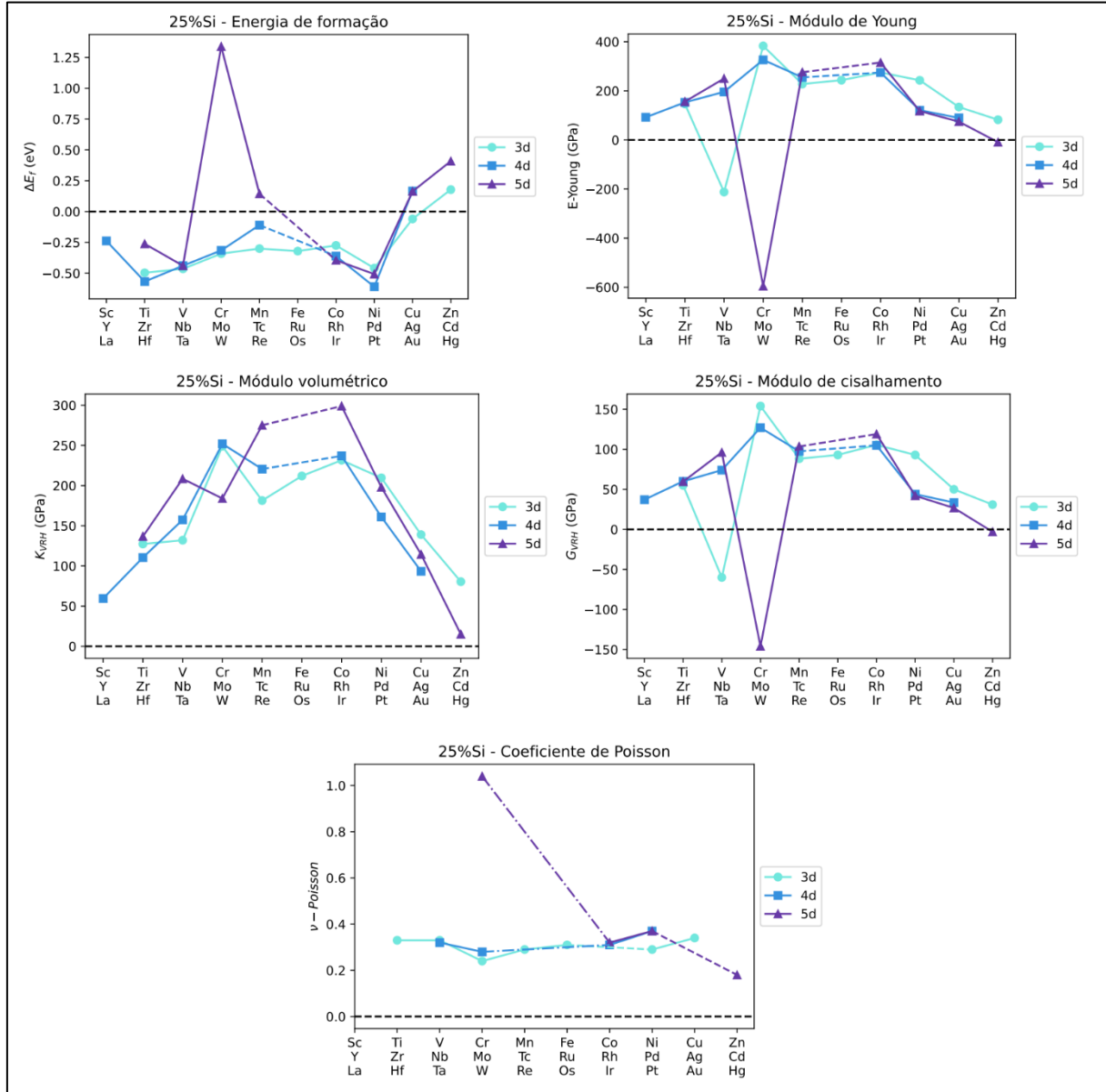
Fonte: Autoria própria

A partir do conjunto de gráficos é possível notar o comportamento igual entre as curvas do Módulo de Cisalhamento e Módulo de Young, o que faz todo sentido já que E é um múltiplo de G , sendo, portanto, diretamente proporcional àquele.

Figura 24 – Gráficos das propriedades dos compostos binários com 66% de boro

Fonte: Autoria própria

Figura 25 – Gráficos das propriedades dos compostos binários com 25% de silício



Fonte: Autoria própria

Os gráficos para as demais composições dos compostos binários com silício podem ser encontrados no (APÊNDICE I).

Da mesma maneira, a visualização para os demais compostos binários também pode ser obtida, para qualquer elemento desejado, bastando apenas leves ajustes no código e possuir a base de dados local destes compostos no com suas composições químicas e valores a serem analisados.

5 CONCLUSÃO

A partir do programa montado foi possível extrair os dados de todos os compostos binários metálicos com alumínio, boro ou silício presentes na plataforma *Materials Project*. Além disso, com esses dados extraídos o programa permite gerar arquivos Excel com todas as informações, permitindo salvar cada etapa de transformação ou adição de informações novas como uma nova aba da planilha, que por sua vez pode ser utilizada como uma base de dados local. Em seguida, um segundo programa possibilita acessar estas bases locais e gerar a visualização dos dados de suas colunas.

Com algumas pequenas adaptações na parte inicial do código do programa de extração, seria possível expandir a extração de dados para outros compostos binários. Dessa forma, indicando os elementos permitidos e os metais, ou outros elementos químicos, na lista de combinação, seria possível extrair e gerar uma base de dados para quaisquer compostos binários desejados. Dessa maneira, o programa serve como base para a extração de dados de outros compostos binários via API dos compostos binários, além de permitir o *Scraping* dos dados previstos por ML de KVRH e GVRH dos compostos, podendo ser ainda mais aprimorado para se tornar um programa de extração ainda mais completo ou que atenda outras necessidades desejadas, como extrair outras características via API ou *Web Scraping*. A implementação de novas extrações no *Web Scraping* é um pouco mais complexa, mas um programador que possua um Python intermediário já dará conta de inserir as demais informações que deseja extrair utilizando como modelo o código molde já programado.

O segundo programa permite a visualização das informações das colunas da base de dados local para as bases dos compostos binários extraídos de alumínio, boro e silício. Ajustando as listas iniciais no código é possível selecionar o parâmetro desejado que será plotado, além de definir seu título e legenda do eixo Y. Ajustando a função para ser igual à lista de combinação do programa de extração é possível gerar visualizações para as bases de dados locais de quaisquer compostos binários. Podendo, portanto, servir como um código base para novas adaptações que permitirão gerar, com leves ajustes, novas visualizações para outros compostos binários.

Quando comparada velocidade da extração via API com relação à via *Web Scraping*, ficou evidente o quanto mais prudente e otimizado é extrair dados diretamente de uma API. Enquanto aproximadamente 9200 dados foram extraídos em média em 30 segundos por uma API, apenas, mas apenas 500 dados foram extraídos em uma média de 12 minutos. Ou seja, a API teve uma

velocidade de extração de dados 441,6 vezes mais veloz para o mesmo computador e internet especificados nos materiais do trabalho. Um motivo para essa diferença está no tempo que o navegador automatizado leva para extrair cada informação, precisando extrair uma a uma, carregando página por página. Além disso o login também precisa ser feito no site o que pode tomar mais alguns segundos da execução total. Com relação a isso é possível concluir que a extração das informações deve ser feita sempre via API e apenas quando necessário a extração via *Web Scraping* deve ser realizada.

Por fim, a linguagem Python se mostrou muito versátil e útil para trabalhar com dados, tanto para a parte de extração, transformação quanto visualização. Provando-se bastante poderosa ao sempre ter uma biblioteca que suprisse a necessidade durante o desenvolvimento. Com a biblioteca Pymatgen foi extremamente fácil extrair os dados de forma rápida e prática; graças a Pandas e NumPy a transformação dos dicionários em *DataFrames* bem definidos e organizados foi possível; o Selenium possibilitou o *Web Scraping* de forma completa de todos os dados desejados da maneira mais ágil possível; a Matplotlib permitiu a criação de gráficos totalmente estilizados que suprissem exatamente as necessidades de visualização do trabalho e, não menos importante, a flexibilidade da sintaxe e facilidade para o encadeamento de componentes lógicos possibilitou a programação de dois códigos relativamente pequenos capazes de gerar bases de dados e visualizações personalizadas, mostrando mais uma vez o quão bom o Python pode ser para trabalhar com dados.

O link do código ainda está sendo melhorado e pode ser acompanhado e obtido no repositório do *Github* disponível na introdução.

REFERÊNCIAS

- ANACONDA. Miniconda, 2017. Disponível em: <<https://docs.conda.io/en/latest/miniconda.html>>. Acesso em: 20 nov. 2021.
- BEWLAY, B. P. et al. TiAl alloys in commercial aircraft engines. **Materials at High Temperatures**, 33, 30 jun. 2016. 549-559. Disponível em: <<https://doi.org/10.1080/09603409.2016.1183068>>.
- CALLISTER, W. D.; RETHWISCH, D. G. **Ciência e engenharia de materiais**. 9^a. ed. Rio de Janeiro: LTC, 2016.
- CHACON, V. Aprenda A Utilizar O Selenium Para Web Scraping. **Lets Code**, 2021. Disponível em: <<https://www.letscode.com.br/blog/aprenda-a-utilizar-o-selenium-para-web-scraping>>. Acesso em: 15 nov. 2021.
- CHROMEDRIVER. ChromeDriver. **ChromeDriver**, 2021. Disponível em: <<https://chromedriver.chromium.org/home>>. Acesso em: 20 nov. 2021.
- DEY, G. K. Physical metallurgy of nickel aluminides. In: SADHANA **Sādhanā**. [S.l.]: Indian Academy of Sciences, v. 46, 2021. Cap. 28, p. 247–262.
- FIA. Data Mining: O que é, Para que serve e Tipos de técnicas. **Fundação Instituição de Administração**, 2020. Disponível em: <<https://fia.com.br/blog/data-mining/>>. Acesso em: 25 nov. 2021.
- GUNDECHA, U. **Learning Selenium Testing Tools with Python**. Birmingham: Packt Publishing, 2014.
- HARRISON, W. A. **Electronic structure and the properties of solids**. Dover. ed. Nova Iorque: Dover Publications, 1989.
- HOHENBERG, P. C.; KOHN, W.; SHAM, L. J. The beginnings and some thoughts. **Advances in Quantum Chemistry**, 1990. 7–26.
- IDRIS, I. **NumPy Beginner's Guide**. 2^a. ed. Birmingham: Packt Publishing, 2013.
- JAIN, A. et al. A high-throughput infrastructure for density functional theory calculations. **Computational Materials Science**, jun. 2011. 2295-2534.
- JAIN, A. et al. Formation enthalpies by mixing GGA and GGA+U calculations. **Phys. Rev. B**, jul. 2011. 045115.
- JAIN, A. et al. The Materials Project: A materials genome approach to accelerating materials innovation. **APL Materials**, 2013. 011002.
- JONG, M. et al. Charting the complete elastic properties of inorganic crystalline compounds. **Scientific Data**, 17 mar. 2015.
- KUBE, C. M. Elastic anisotropy of crystals. **AIP Advances**, 13 set. 2016. Disponível em: <<https://doi.org/10.1063/1.4962996>>.

LANDIS, G. A. **Refino de Materiais para Produção de Matriz Solar na Lua.** NASA. Cleveland, p. 25. 2006.

LANE, K. Intro to APIs: What Is an API? **Postman**, 2020. Disponivel em: <<https://blog.postman.com/intro-to-apis-what-is-an-api/>>. Acesso em: 11 17 2021.

LUNDH, F. **Python Standard Library.** [S.l.]: O'Reilly, 2001.

MAVKO, G.; MUKERJI, T.; DVORKIN, J. **The Rock Physics Handbook:** Tools for Seismic Analysis of Porous Media. 2. ed. Nova Iorque: Cambridge University Press, 2009.

MCKINNEY, W. **Pandas:** powerful Python data analysis. [S.l.]: [s.n.], v. Release 1.3.4, 2021.

MITCHELL, R. **Web Scraping with Python.** 2^a. ed. Sebastopol: O'Reilly Media, 2018.

MORGAN, P. **Data Analysis from Scratch with Python.** [S.l.]: AI Sciences LLC, 2018.

MOUHAT, F.; COUDERT, F. X. Necessary and Sufficient Elastic Stability Conditions in Various Crystal Systems. **Physical Review B**, Paris, 05 dez. 2014.

NYE, J. F. **Physical properties of crystals:** their representation by tensors and matrices. [S.l.]: Oxford university press, 1985.

ONG, S. P. et al. Python Materials Genomics (pymatgen): A robust, open-source python library for materials analysis. **Computational Materials Science**, 2013. 314-319. Disponivel em: <<https://pymatgen.org>>. Acesso em: 02 out. 2021.

ONG, S. P. et al. The Materials Application Programming Interface (API): A. **Computational Materials Science**, 18 out. 2014. 2009-125.

PAVLIC, O. Design of Mg alloys: The effects of Li concentration on the structure. **Journal of Alloys and Compounds**, 2017. 15-25.

POPLAVKO, Y. M. Mechanical properties of solids. In: POPLAVKO, Y. M. **Electronic Materials.** [S.l.]: Elsevier, 2019. Cap. 2, p. 71-93.

PROJECT JUPYTER. Jupyter. **Jupyter**, 2021. Disponivel em: <<https://jupyter.org>>. Acesso em: 25 out. 2021.

RANGANATHAN, S. I.; OSTOJA-STARZEWSKI, M. Universal Elastic Anisotropy Index. **Physical Review Letters**, Urbana, 1 ago. 2008. 055504-1 a 4. Disponivel em: <<https://link.aps.org/doi/10.1103/PhysRevLett.101.055504>>.

RAPIDAPI. API Credentials – What are API Credentials? **The RapidAPI Blog**, 2021. Acesso em: 16 nov. 2021.

RAYNER-CANHAM, G. **Descriptive inorganic chemistry.** 6. ed. New York: Freeman and Company, 2014.

RELAN, K. **Building REST APIs with Flask.** [S.l.]: Apress, 2019.

SINGH, S. MechElastic: A Python Library for Analysis of mechanical and elastic properties of bulk and 2D materials. **Computer Physics Communications**, 2021. 108068.

SWEIGART, A. **Automate the Boring Stuff with Python**. 1. ed. São Francisco: No Sartch Press, v. 1, 2015.

WANG, L.; LEE, D.; KAN, C.-D. Work conjugate pair of stress and strain in molecular dynamics. **International Journal of Smart and Nano Materials**, 10 out. 2016.

WASEEM, M. Python Frameworks: What Are The Top 5 Frameworks In Python? **edureka**, 2021. Disponivel em: <<https://www.edureka.co/blog/python-frameworks/>>. Acesso em: 11 19 2021.

APÊNDICE A - Código de instalação do ambiente virtual e Jupyter Notebook

Figura A-1 Criando o ambiente virtual do programa

```
(base) C:\Users\alexa\Desktop\Faculdade\TCCv2>conda create -n TCC python=3.8
Collecting package metadata (current_repodata.json): done
Solving environment: done
```

Fonte: Autoria própria

Figura A-2 Instalando o pacote conda, com o gerenciador de pacotes *pip* o Python e alguns extras

```
added / updated specs:
- python=3.8

The following packages will be downloaded:

  package          |      build
  -----          | -----
ca-certificates-2021.10.26 | haa95532_2    115 KB
  pip-21.2.2       | py38haa95532_0  1.9 MB
  -----
                           | Total:        2.0 MB

The following NEW packages will be INSTALLED:

  ca-certificates      pkgs/main/win-64::ca-certificates-2021.10.26-haa95532_2
  certifi              pkgs/main/win-64::certifi-2021.10.8-py38haa95532_0
  openssl              pkgs/main/win-64::openssl-1.1.1l-h2bbff1b_0
  pip                  pkgs/main/win-64::pip-21.2.2-py38haa95532_0
  python               pkgs/main/win-64::python-3.8.12-h6244533_0
  setuptools           pkgs/main/win-64::setuptools-58.0.4-py38haa95532_0
  sqlite               pkgs/main/win-64::sqlite-3.36.0-h2bbff1b_0
  vc                   pkgs/main/win-64::vc-14.2-h21FF451_1
  vs2015_runtime       pkgs/main/win-64::vs2015_runtime-14.27.29016-h5e58377_2
  wheel                pkgs/main/noarch::wheel-0.37.0-pyhd3eb1b0_1
  wincertstore         pkgs/main/win-64::wincertstore-0.2-py38haa95532_2

Proceed ([y]/n)? y
```

Fonte: Autoria própria

Figura A-3 Ativando o ambiente de trabalho

```
Proceed ([y]/n)? y

Downloading and Extracting Packages
  pip-21.2.2          | 1.9 MB  | #####| 100%
  ca-certificates-2021 | 115 KB  | #####| 100%
Preparing transaction: done
Verifying transaction: done
Executing transaction: done
#
# To activate this environment, use
#
#     $ conda activate TCC
#
# To deactivate an active environment, use
#
#     $ conda deactivate

(base) C:\Users\alexa\Desktop\Faculdade\TCCv2>conda activate TCC
(TCC) C:\Users\alexa\Desktop\Faculdade\TCCv2>
```



Fonte: Autoria própria

Figura A-4 Instalando o Jupyter Notebook

```
(base) C:\Users\alexa\Desktop\Faculdade\TCCv2>conda activate TCC
(TCC) C:\Users\alexa\Desktop\Faculdade\TCCv2>pip install jupyter notebook
Collecting jupyter
  Using cached jupyter-1.0.0-py2.py3-none-any.whl (2.7 kB)
Collecting notebook
  Downloading notebook-6.4.6-py3-none-any.whl (9.9 MB)
|██████████| 9.9 MB 6.8 MB/s
```

Fonte: Autoria própria

APÊNDICE B - Código ETL dos dados

```

from pymatgen.ext.matproj import MPRester
import pandas as pd
from selenium import webdriver
from selenium.common.exceptions import NoSuchElementException
from selenium.webdriver.common.by import By
from selenium.webdriver.support.ui import WebDriverWait
from selenium.webdriver.support import expected_conditions as EC
from selenium.webdriver import ActionChains
from selenium.webdriver.common.keys import Keys
from selenium.common.exceptions import TimeoutException
from selenium.webdriver.chrome.service import Service
from getpass import getpass
from datetime import time
import math
import NumPy as np
import time
import sys

```

Definições principais

```

# Para alterar os elementos à serem combinados com o elemento_analisado, basta alterar esta
lista

```

```

# Metais que serão combinados com o elemento em questão

```

```

metais_de_transicao = ['Sc','Ti','V','Cr','Mn','Fe','Co','Ni','Cu','Zn','Y','Zr','Nb','Mo','Tc','Ru',
'Rh','Pd','Ag','Cd', 'La','Hf','Ta','W','Re','Os', 'Ir', 'Pt','Au', 'Hg']

```

```

# Definindo as combinações permitidas

```

```

elementos_permitidos = ['Al', 'B', 'Si']

```

```

# Chave da API - Para acessar o Pymatgen

```

```

API_KEY ='6AsndhXp3MvcQu1J'

```

```
## Definindo funções
```

```
# Função de mensagem
```

```
def mensagem(mensagem):
```

```
    """
```

Envia uma mensagem e averigua a confirmação do usuário para continuar a execução ou parar o programa.

```
    """
```

```
    msg = input(mensagem)
```

```
    while msg.lower() != 'y':
```

```
        msg = input(mensagem)
```

```
# Função cabeçalho
```

```
def cabecalho(titulo):
```

```
    """
```

Printa o cabeçalho indicado.

```
    """
```

```
    print()
```

```
    print('=' * 127)
```

```
    print('{:^127}'.format(titulo))
```

```
    print('=' * 127)
```

```
    print()
```

```
# Cabeçalho dos metais de transição
```

```
cabecalho('METAIS DE TRANSIÇÃO UTILIZADOS PARA A COMBINAÇÃO')
```

```
print(f'"Lista dos metais de transição: [{', ',join(metais_de_transicao)}"]
```

Número total de elementos: {len(metais_de_transicao)}")

```
# Cabeçalho do elemento analisado
```

```
cabecalho('DEFININDO O ELEMENTO A SER COMBINADO')
```

```
# Definindo o elemento químico a ser combinado com os metais de transição
elemento_analisado = input(f"Olá, seja bem-vindo ao extrator de dados!")
```

Para prosseguir selecione um dos símbolos químicos abaixo para extrair suas combinações com os {len(metais_de_transicao)} metais de transição listados acima.

Os símbolos químicos disponíveis são:

```
[{''.join(elementos_permitidos)}]
```

Insira o símbolo químico desejado: "")

```
while elemento_analisado not in elementos_permitidos:
```

```
    elemento_analisado = input(f"Símbolo químico inválido! Os símbolos químicos disponíveis são: [{''.join(elementos_permitidos)}]")
    "")
```

```
# Definindo o nome do arquivo
```

```
if elemento_analisado == 'Al':
```

```
    nome_arquivo_bd = 'Aluminetos.xlsx'
```

```
elif elemento_analisado == 'B':
```

```
    nome_arquivo_bd = 'Boretos.xlsx'
```

```
else:
```

```
    nome_arquivo_bd = 'Silicetos.xlsx'
```

APÊNDICE C - Código extrator dos dados da MAPI

```

# Cabeçalho da extração via API
cabecalho('EXTRAÇÃO DOS DADOS VIA API')

print('Observação: A partir de agora algumas perguntas para prosseguir serão realizadas, as
opções estarão entre colchetes -> [y/n] que significam "yes or no" para prosseguir ou não
prosseguir.\n')

mensagem(f'Podemos iniciar a extração dos dados dos compostos {elemento_analisado}M?
[y/n]')

print('\nExtraindo os dados e gerando o DataFrame...')

start_time = time.time()

df_dados_api = pd.DataFrame() # Creating the Final Database

with MPRester(API_KEY) as mpr:
    for metal in metais_de_transicao:
        formula = f'{elemento_analisado}-{metal}'
        query = mpr.query(formula,['material_id', 'pretty_formula','total_magnetization',
        'formation_energy_per_atom', 'spacegroup','elasticity','density', 'crystal_system', 'volume'])
        df_query = pd.DataFrame(query)
        df_dados_api = df_dados_api.append(df_query)

print(f"\nDataFrame gerado com sucesso!")

Tempo de execução --- {(time.time() - start_time):.2f} seconds ---"

```

APÊNDICE D - Código formatação do *DataFrame* gerado na extração da MAPI

```
# Renomenado a coluna do volume da célula unitária
df_dados_api.rename(columns = {'volume':'cell_volume'}, inplace = True)

# Resetando os índices do Dataframe
df_dados_api.reset_index(drop=True, inplace=True)

# Criando a Workbook no Excel
writer = pd.ExcelWriter(nome_arquivo_bd, engine='xlsxwriter')

# Criando a Worksheet dentro da Workbook
df_dados_api.to_excel(writer, sheet_name = r'Dados iniciais')

# Gerando as novas colunas
df_dados_api[['spacegroup_number', 'point_group','G_Reuss', 'G_VRH', 'G_Voigt', 'K_Reuss',
'K_VRH', 'K_Voigt', 'elastic_anisotropy', 'universal_anisotropy', 'poisson_ratio', 'Method']] =
np.nan

## Formatando os dicionários de Spacegroup e Elasticity em colunas
for n in range(len(df_dados_api)):

    # Separando o dicionário do Spacegroup
    df_dados_api.loc[df_dados_api.index[n], 'spacegroup_number'] =
    df_dados_api['spacegroup'][n]['number']

    df_dados_api.loc[df_dados_api.index[n], 'point_group'] =
    df_dados_api['spacegroup'][n]['point_group']

    # Itera para as linhas que possuirem elasticidade
    if df_dados_api.loc[n, 'elasticity'] != None:
        for nova_coluna in ['G_Reuss', 'G_VRH', 'G_Voigt', 'K_Reuss', 'K_VRH', 'K_Voigt',
'elastic_anisotropy', 'universal_anisotropy', 'poisson_ratio']:
```

```
df_dados_api.loc[df_dados_api.index[n], nova_coluna] =  
df_dados_api['elasticity'][n][nova_coluna]  
  
# Analisa se o id possui avisos e os adiciona em uma nova coluna  
try:  
    df_dados_api.loc[df_dados_api.index[n], 'warnings'] =  
df_dados_api['elasticity'][n]['warnings']  
except ValueError:  
    pass  
  
# Extraiendo Cij do tensor de elasticidade  
for i in range(6):  
    for j in range(6):  
        df_dados_api.loc[df_dados_api.index[n], f'C{i+1}{j+1}'] =  
df_dados_api['elasticity'][n]['elastic_tensor_original'][i][j]  
  
# Retirando as colunas Spacegroup e Elasticity  
df_dados_api.drop(columns = ['spacegroup', 'elasticity'], inplace=True)  
  
# Indicando o método  
df_dados_api.loc[df_dados_api['K_VRH'].notnull(), 'Method'] = 'DFT'  
  
# Exportando a planilha com as novas colunas  
df_dados_api.to_excel(writer, sheet_name='Dados com elasticidade')  
  
# Fazendo uma cópia  
df_id = df_dados_api.copy()
```

APÊNDICE E - *Web Scraping* da dos valores de estabilidade

```
# Cabeçalho da extração via Web Scraping
cabecalho('EXTRAÇÃO DOS DADOS VIA WEB SCRAPING')

# Permite o usuário realizar o Web Scraping ou pular, como preferir
webscraping_pergunta = input("Atenção! Na API estão faltando algumas informações
importantes dos compostos:
1. Os dados de K_VRH e G_VRH dos compostos sem matriz de elasticidade, mas que são
previstos no site pelos algoritmos de Machine Learning.
2. A informação 'Decomposes To', que indica para quais compostos o respectivo composto se
decompõe.

Ambas as informações podem ser obtidas por meio de um Web Scraping no site do Materials
Project.
```

Atenção: Se você pular o Web Scraping sua base de dados ficará com essas informações faltantes.

Podemos adicionar à base de dados extraída via API essas novas informações via Web Scraping? [y/n] "")

```
while webscraping_pergunta.lower() not in ['y', 'n']:
    webscraping_pergunta = input("Insira um valor válido! "y" para rodar o Web Scraping ou
"n" para pulá-lo.
```

Atenção: Se você pular o Web Scraping sua base de dados ficará com essas informações faltantes."")

```
## Coletando os dados de estabilidade, K_VRH e G_VRH previstos pelo programa de
Machine Learning
if webscraping_pergunta == 'y':
```

```
# Coletando dados com o usuário
email = input('Insira o seu e-mail usp: ')
```

```

numero_usp = input('Digite seu número usp: ')
senha_usp = getpass('Digite sua senha usp: ')

# Outras constantes
stability_XPATH =
'/html/body/div/div/div[3]/div[1]/div[2]/table[1]/tbody/tr[6]/td/span'

google_email_xpath = r'//*[@id="identifierId"]'
google_continuar_xpath = r'//*[@id="identifierId"]'
google_confirmar_xpath =
r'//*[@id="view_container"]/div/div/div[2]/div/div[1]/div/div/button/span'

num_usp_xpath = r'//*[@id="username"]'
usp_senha_xpath = r'//*[@id="password"]'
usp_login_btn_xpath = r'//*[@id="login-main-content"]/div[1]/form/button'

url = f'https://materialsproject.org/janrain/loginpage/?next=/janrain/loginpage/'

## Iniciando o navegador
mensagem('Podemos iniciar o navegador? [y/n]')

start_time = time.time()

# Inicializando o navegador
s = Service('chromedriver.exe')
browser = webdriver.Chrome(service = s)

browser.get(url) # Navegando para a url indicada
wait = WebDriverWait(browser, 10)
action = ActionChains(browser)

# Fazendo login
try:

```

```

btn_login_google = wait.until(EC.presence_of_element_located((By.XPATH,
r'/html/body/div/div[2]/div[2]/div[1]/a/button')))

action.move_to_element(btn_login_google).click().perform()

except TimeoutException:
    print(f'Erro browser demorou muito para carregar ou o elemento não foi encontrado.')
    browser.close()

wait.until(EC.presence_of_element_located((By.XPATH,
google_email_xpath))).send_keys(email)

wait.until(EC.presence_of_element_located((By.XPATH,
google_continuar_xpath))).send_keys(Keys.ENTER)

wait.until(EC.presence_of_element_located((By.XPATH,
num_usp_xpath))).send_keys(numero_usp)

wait.until(EC.presence_of_element_located((By.XPATH,
usp_senha_xpath))).send_keys(senha_usp)

wait.until(EC.presence_of_element_located((By.XPATH, usp_login_btn_xpath))).click()

wait.until(EC.presence_of_element_located((By.XPATH,
google_confirmar_xpath))).click()

home_page_ok = input('Assim que deixar na página principal logada digite ok: ')
while home_page_ok != 'ok':
    home_page_ok = input('Assim que deixar na página principal logada digite ok: ')

wait.until(EC.element_to_be_clickable((By.XPATH,
r'//*[@id="searchfield"]/form/div[2]/div/button')))

## Extraindo estabilidade e predições de K_VRH e G_VRH
# Extraindo estabilidade
for n in range(len(df_id)):
    erro_estabilidade = 0

```

```

material_id = df_id['material_id'][n]

# Definindo a url
url = f'https://materialsproject.org/materials/{material_id}/'
browser.get(url) # Navegando para a url indicada

try:
    WebDriverWait(browser, 1).until(EC.presence_of_element_located((By.XPATH,
stability_XPATH)))
    stability = browser.find_element(By.XPATH, stability_XPATH).text # Valor do
elemento web
    df_id.loc[df_id.index[n], 'Decomposes_To'] = stability
    print(f"Composto: {n}")
    Id: {material_id}
    Decomposes To: {stability}"")"

except TimeoutException:
    print(f"Composto: {n}")
    Id: {material_id}
    Decomposes To: Não encontrado")
    erro_estabilidade = 1
    pass

# Extraiendo K_VRH e G_VRH
K_VRH_material = df_id['K_VRH'][n]

if erro_estabilidade == 1:
    print(f'K_VRH: Não encontrado, G_VRH: Não encontrado \n')

elif math.isnan(K_VRH_material):
    try:

```

```

    wait.until(EC.element_to_be_clickable((By.XPATH, r'//*[@id="kg-
prediction"]/button'))).click()

    K_VRH_predicao = wait.until(EC.presence_of_element_located((By.XPATH,
r'//*[@id="kg-prediction"]/div/table/tbody/tr/td[1]/span'))).text
    G_VRH_predicao = wait.until(EC.presence_of_element_located((By.XPATH,
r'//*[@id="kg-prediction"]/div/table/tbody/tr/td[2]/span'))).text

    print(f'K_VRH: {K_VRH_predicao}, G_VRH: {G_VRH_predicao} \n')

    K_VRH_predicao = float(K_VRH_predicao[:5])
    G_VRH_predicao = float(G_VRH_predicao[:5])

    df_id.loc[df_id.index[n], 'K_VRH'] = K_VRH_predicao
    df_id.loc[df_id.index[n], 'G_VRH'] = G_VRH_predicao
    df_id.loc[df_id.index[n], 'Method'] = 'ML' # Previstos segundo o algoritmo de
Machine Learning

except TimeoutException:
    print(f'K_VRH: Não encontrado, G_VRH: Não encontrado (TimeoutException)\n')
    pass

else: # ver de tirar
    df_id.loc[df_id.index[n], 'Method'] = 'DFT' # Previstos segundo o algoritmo de
Machine Learning
    print()

end_time = time.time()

mensagem('Podemos fechar o navegador? [y/n]')

# Fechando o navegador
browser.close()

```

```
print(f"\nDataFrame editado com sucesso!"
```

```
Tempo de execução --- {(end_time - start_time):.2f} seconds ---")
```

```
# Gravando a planilha após o Web Scraping
```

```
df_id.to_excel(writer, sheet_name='Dados completos')
```

APÊNDICE F - Código do cálculo dos parâmetros e geração do arquivo como base de dados local

```
# Cálculando o módulo de Young
df_id['E_Young'] = (9 * df_id['K_VRH'] * df_id['G_VRH'])/(3 * df_id['K_VRH'] +
df_id['G_VRH']) # Capacidade de resistir a alongamento ou compressão longitudinal

# Cálculando da razão ou coeficiente de Poisson
df_id['Coef_Poisson'] = (3 * df_id['K_VRH'] - df_id['E_Young']) / (6 * df_id['K_VRH']) # Compressão ou alongamento longitudinal

# Criando Worksheet com a coluna de E_Young
df_id.to_excel(writer, sheet_name='Dados calculados')
writer.save()

print()
print(f'Arquivo {nome_arquivo_bd} salvo com sucesso. Fim da execução!')
```

APÊNDICE G – Código de geração dos gráficos

```

import pandas as pd
import NumPy as np
import math
import matplotlib.pyplot as plt

## Definindo as propriedades a serem extraidas
propriedades_lista = ['formation_energy_per_atom', 'E_Young', 'poisson_ratio', 'K_VRH',
'G_VRH']
propriedades_lista_titulos = ['Energia de formação', 'Módulo de Young', 'Coeficiente de
Poisson', 'Módulo volumétrico', 'Módulo de cisalhamento']
grafico_legenda_lista = [r'$\Delta E_f$ (eV)', r'E-Young (GPa)', r'$\nu - Poisson$', 
'$K_{VRH}$ (GPa)', '$G_{VRH}$ (GPa)']

## Definindo os elementos permitidos e os diretórios dos arquivos
elementos_permitidos = ['Al', 'B', 'Si']

elemento_analisado = input(f"Qual o elemento que será analisado [{',
'.join(elementos_permitidos)}]? ")

while elemento_analisado not in elementos_permitidos:
    elemento_analisado = input(f"Símbolo químico inválido! Os símbolos químicos
disponíveis são: [{', '.join(elementos_permitidos)}] ")

# Definindo o nome do arquivo
if elemento_analisado == 'Al':
    nome_arquivo_bd = 'Bases de dados\Aluminetos.xlsx'
elif elemento_analisado == 'B':
    nome_arquivo_bd = 'Bases de dados\Boretos.xlsx'
else:
    nome_arquivo_bd = 'Bases de dados\Silicetos.xlsx'

```

```

dados = pd.read_excel(nome_arquivo_bd, sheet_name = 'Dados calculados')

# Definindo funções
def resetando_df_modelo():
    """
    Função para deixar as tabelas/dataframes no formato adequado para o script do gráfico
    """

    data = {'Metal': ['Sc','Ti','V','Cr','Mn','Fe','Co','Ni','Cu','Zn','Y','Zr','Nb','Mo','Tc','Ru',
'Rh','Pd','Ag','Cd', 'La','Hf','Ta','W','Re','Os', 'Ir', 'Pt','Au', 'Hg'],
'Propriedade': [np.nan]*30,
}

    # Create the pandas DataFrame
    df_modelo = pd.DataFrame(data)

    return df_modelo

## Transformando dataframes e gerando os gráficos
for idxx, prop in enumerate(propriedades_lista):
    df_prop = dados[['pretty_formula', prop]]

    # Determinando os Dataframes
    search_for =
    ['Sc3','Ti3','V3','Cr3','Mn3','Fe3','Co3','Ni3','Cu3','Zn3','Y3','Zr3','Nb3','Mo3','Tc3','Ru3',
'Rh3','Pd3','Ag3','Cd3','Hf3','Ta3','W3','Re3','Os3', 'Ir3', 'Pt3','Au3', 'Hg3', 'La3']

    # Filtrando compostos com 3 metais de transição
    df_prop_25por = df_prop[df_prop['pretty_formula'].str.contains('|'.join(search_for))]

    search_for =
    ['Sc2','Ti2','V2','Cr2','Mn2','Fe2','Co2','Ni2','Cu2','Zn2','Y2','Zr2','Nb2','Mo2','Tc2','Ru2',
'Rh2','Pd2','Ag2','Cd2','Hf2','Ta2','W2','Re2','Os2', 'Ir2', 'Pt2','Au2', 'Hg2', 'La2']

    # Filtrando compostos com 3 metais de transição
    df_prop_33por = df_prop[df_prop['pretty_formula'].str.contains('|'.join(search_for))]
```

```
df_prop_50por = df_prop
```

```
# Filtrando compostos com 3 metais de transição
```

```
df_prop_66por = df_prop[df_prop['pretty_formula'].str.contains(f'{elemento_analisado}2')]
```

```
df_prop_75por = df_prop[df_prop['pretty_formula'].str.contains(f'{elemento_analisado}3')]
```

```
filtro_25_75 =
```

```
[2, 4, 5, 6, 7, 8, 9, 10, 11, 12, 13, 14, 15, 16, 17, 18, 19, 20, 21, 22, 23, 24, 25, 26, 27, 28, 29, 30]
```

```
filtro_50 =
```

```
[2, 3, 4, 5, 6, 7, 8, 9, 10, 11, 12, 13, 14, 15, 16, 17, 18, 19, 20, 21, 22, 23, 24, 25, 26, 27, 28, 29, 30]
```

```
filtro_33_66 =
```

```
[3, 4, 5, 6, 7, 8, 9, 10, 11, 12, 13, 14, 15, 16, 17, 18, 19, 20, 21, 22, 23, 24, 25, 26, 27, 28, 29, 30]
```

```
porcent_lista = ['25%', '33%', '50%', '66%', '75%']
```

```
filtros_lista = [filtro_25_75, filtro_50, filtro_33_66]
```

```
df_lista = [df_prop_25por, df_prop_33por, df_prop_50por, df_prop_66por, df_prop_75por]
```

```
prop_titulo = propriedades_lista_titulos[idx]
```

```
legenda_do_grafico = grafico_legenda_lista[idx]
```

```
for idx, df in enumerate(df_lista):
```

```
    porcentagem = porcent_lista[idx]
```

```
    nome_do_arquivo = f'{prop_titulo}-{porcentagem}{elemento_analisado}.pdf'
```

```
    titulo_do_grafico = f'{porcentagem}{elemento_analisado} - {prop_titulo}'
```

```
teste1 = idx % 2
```

```
teste2 = idx // 2
```

```

if teste1 == 1:
    for i in filtro_33_66:
        df = df[~df.pretty_formula.str.contains(i)]
elif teste2 == 1:
    for i in filtro_50:
        df = df[~df.pretty_formula.str.contains(i)]
else:
    for i in filtro_25_75:
        df = df[~df.pretty_formula.str.contains(i)]

# Remove duplicatas e fica com a de menor energia de formação
df = df.sort_values(by = [prop]).drop_duplicates(subset='pretty_formula', keep='first')
print(f'\nForam encontrados {len(df)} compostos.')

df2 = df.copy()

for ireplace in [f'{elemento_analisado}', '2', '3', '4']:
    df2['pretty_formula'] = df2['pretty_formula'].str.replace(ireplace,"")

# Zerando a tabela do df_modelo
df_modelo = resetando_df_modelo()

# Adiciona os valores no modelo desejado
for element in df2['pretty_formula']:
    valor = df.loc[df2['pretty_formula'] == element, prop].iloc[0]
    df_modelo.loc[df_modelo.Metal == element, 'Propriedade'] = valor

# extraindo nomes dos elementos e criando legendas
d3 = df_modelo['Metal'][:10]
d4 = df_modelo['Metal'][10:20]
d5 = df_modelo['Metal'][20:]
L = [f'{x}\n{y}\n{z}' for x, y, z in zip(d3, d4, d5)]

```

```

# Gerando o gráfico
fig = plt.figure()

l10 = range(10)

plt.plot(l10, df_modelo['Propriedade'][:10], marker = 'o', color = '#6FE7DD', linestyle = '-',
         label='3d')
plt.plot(l10, df_modelo['Propriedade'][10:20], marker = 's', color = '#3490DE', linestyle = '-',
         label='4d')
plt.plot(l10, df_modelo['Propriedade'][20:], marker = '^', color = '#6639A6', linestyle = '-',
         label='5d')

# Titulo do gráfico
plt.title(titulo_do_grafico)

# adiciona linhas tracejadas caso haja dados faltantes
is_NaN = df_modelo.isnull()
row_has_NaN = is_NaN.any(axis=1)
rows_with_NaN = df_modelo[row_has_NaN]
index_of_rows_with_NaN = list(rows_with_NaN.index)

print(f'\nElementos faltantes no gráfico:{porcentagem}{elemento_analisado}')
for i in index_of_rows_with_NaN:
    j = i % 10
    grupo = i // 10
    print(f'{j + 1}º elemento da {grupo + 1}ª linha')
    if j > 0 and j < 9:
        c = [j-1, j+1]
        pi = df_modelo['Propriedade'][i-1]
        pf = df_modelo['Propriedade'][i+1]
        color = ['#6FE7DD', '#3490DE', '#6639A6']
        plt.plot(c, [pi, pf], color[i // 10], linestyle = '--')

```

```
# Repetição dos ifs até encontrar o ponto subsequente, dependendo da distância
traceja de uma maneira diferente

controlador = 8

while math.isnan(pf) and j < controlador and controlador > 1:
    c = [j-1, j+(10-controlador)]
    pf = df_modelo['Propriedade'][i+(10-controlador)]
    color = ['#6FE7DD', '#3490DE', '#6639A6']
    if controlador == 8:
        linha = '-.'
    else:
        linha = ':'
    plt.plot(c, [pi, pf], color[i // 10], linestyle = linha)
    controlador -= 1

print(f'Total: {len(index_of_rows_with_NaN)}')
display(df)

# formatação
plt.axhline(0, linestyle='--', color='k')
plt.ylabel(legenda_do_grafico)
plt.legend(loc = 'center left', bbox_to_anchor=(1, 0.5))
plt.xticks(l10, L)
plt.tight_layout()
plt.savefig(f'Graficos/{nome_do_arquivo}.pdf')
```

APÊNDICE H – *DataFrames* das propriedades por composição dos compostos metálicos para o alumínio

Figura H-2 DataFrames de energia de formação para os compostos binários de Al com os metais de transição nas proporções de 25%, 33%, 50%, 66% e 75% da esquerda para a direita.

pretty_formula	formation_energy_per_atom								
235	AlP3	-0.692685	238	AlP2	-0.953658	158	AlRh	-1.101652	228
169	AlPd3	-0.812381	162	AlPd2	-0.833424	233	AlPt	-1.041411	146
155	AlRH3	-0.491680	80	AlIN2	-0.501586	152	AlIr	-0.958860	161
76	AlIN3	-0.433437	143	AlTC2	-0.412661	159	AlPd	-0.915719	219
115	ZrAl	-0.296903	123	Zr2Al	-0.358074	147	AlRu	-0.72735	119
22	TiAl	-0.279486	3	Sc2Al	-0.350948	69	AlNi	-0.657566	100
8	Sc3Al	-0.268677	248	AlAu2	-0.316836	65	AlCo	-0.810262	180
129	AlM63	-0.241469	108	Y2Al	-0.314966	122	ZrAl	-0.462376	2
197	Hf3Al	-0.221002	126	Nb2Al	-0.293135	7	ScAl	-0.446304	195
183	La3Al	-0.201939	211	AlR2	-0.282899	102	YAl	-0.418543	13
52	AlFe3	-0.199436	194	Hf2Al	-0.262791	179	LaAl	-0.411507	242
244	AlAu3	-0.197910	203	Ta2Al	-0.247720	11	TiAl	-0.407164	88
84	AlCu3	-0.189439	26	AlV2	-0.145029	217	AlOs	-0.400655	208
101	Y3Al	-0.185329	56	AlFe2	-0.141820	193	HfAl	-0.394234	97
127	Nb3Al	-0.173775	38	AlC2	-0.121507	245	AlAu	-0.394012	
60	AlCo3	-0.148929	172	AlAg2	-0.075495	59	AlFe	-0.327249	
25	AlV3	-0.135406	12	Ti2Al	0.572197	212	AlRe	-0.315780	
144	AlTc3	-0.112515				42	MnAl	-0.372440	
170	AlAg3	-0.073814				94	AlCu	-0.213428	
44	Mn3Al	-0.037628				174	AlAg	-0.039721	
176	AlC63	0.102086							

Fonte: Autoria própria

Figura H-3 DataFrames de Módulo de Young para os compostos binários de Al com os metais de transição nas proporções de 25%, 33%, 50%, 66% e 75% da esquerda para a direita.

pretty_formula	E_Young	pretty_formula	E_Young	pretty_formula	E_Young	pretty_formula	E_Young	pretty_formula	E_Young			
82	AlCu3	0.000000	12	Ti2Al	-15.360577	43	MnAl	-103.194379	208	Al2W	-9.056962	
25	AlV3	29.383984	243	AlAu2	75.717391	249	AlAu	-66.150000	161	Al2Pd	82.622951	
74	AlIn3	46.618705	108	Y2Al	76.153846	179	LaAl	84.031088	242	Al2Au	89.612069	
185	La3Al	46.956522	172	AlAg2	81.346154	102	YAl	87.906977	97	Al2Zn	100.242632	
176	AlCd3	49.705100	109	Zr2Al	108.211144	231	AlPt	90.793220	180	LaAl2	100.434783	
127	Nb3Al	52.071429	3	Sc2Al	109.133858	174	AlAg	103.399873	83	Al2Cu	105.756677	
101	Y3Al	78.837989	80	AlNi2	111.932773	7	ScAl	104.661818	228	Al2Pt	106.288732	
244	AlAu3	79.362397	56	AlFe2	120.024742	168	AlPd	140.400000	100	YAl2	144.000000	
20	Ti3Al	87.513812	162	AlPd2	138.137143	19	TiAl	162.957975	2	ScAl2	164.108108	
4	Sc3Al	87.750000	194	Hf2Al	144.182278	94	AlCu	167.830049	9	TiAl2	194.400000	
171	AlAg3	88.691479	201	Ta2Al	145.800000	122	ZrAl	168.612245	119	ZrAl2	207.697183	
61	AlCo3	127.542010	238	AlPt2	159.004458	50	AlFe	173.863636	195	HfAl2	212.142857	
121	Zr3Al	131.964996	26	AlV2	201.238652	214	AlRe	175.027624	146	Al2Ru	256.306291	
197	Hf3Al	132.002397	126	Nb2Al	210.297345	193	HfAl	183.345882	219	Al2Os	341.395804	
169	AlPd3	142.448540	38	AlCr2	260.850227	69	AlNi	188.129032		1	ScAl3	156.485549
226	AlPt3	193.853078	143	AlTc2	320.440551	158	AlRh	260.765217		237	Al3Pt	160.887902
58	AlFe3	194.436242	211	AlRe2	352.881637	147	AlRu	264.110014		79	Al3Ni	165.733333
44	Mn3Al	205.436620				65	AlCo	290.225954		153	Al3Ru	183.356358
155	AlRh3	209.897811				222	Allr	297.728518		37	Al3Cr	197.844059
144	AlTc3	230.367774				217	AlOs	303.428571		141	Al3Tc	215.412668
129	AlMo3	307.820352								130	Al3Mo	235.104950
										124	NbAl3	246.944444
										202	TaAl3	247.491054

Fonte: Autoria própria

Figura H-3 – DataFrames do Coeficiente de Poisson para os compostos binários de Al com os metais de transição nas proporções de 25%, 33%, 50%, 66% e 75% da esquerda para a direita.

pretty_formula	poisson_ratio										
4	Sc3Al	0.22	3	Sc2Al	0.24	95	AlCu	-2.58	2	ScAl2	0.19
101	Y3Al	0.23	143	AlTc2	0.26	50	AlFe	0.16	180	LaAl2	0.19
129	AlMo3	0.27	211	AlRe2	0.27	65	AlCo	0.23	119	ZrAl2	0.19
22	Ti3Al	0.27	38	AlCr2	0.27	193	HfAl	0.24	149	Al2Ru	0.19
115	Zr3Al	0.27	108	Y2Al	0.27	122	ZrAl	0.24	9	TiAl2	0.20
76	AlNi3	0.29	123	Zr2Al	0.28	179	LaAl	0.24	219	Al2Os	0.20
185	La3Al	0.30	126	Nb2Al	0.28	11	TiAl	0.25	100	YAl2	0.20
58	AlFe3	0.31	51	AlFe2	0.28	42	MnAl	0.26	195	HfAl2	0.21
234	AlPt3	0.32	194	Hf2Al	0.29	102	YAl	0.26	89	Al2Cu	0.27
44	Mn3Al	0.32	232	AlPt2	0.32	7	ScAl	0.28	228	Al2Pt	0.36
93	AlCu3	0.34	162	AlPd2	0.35	222	Allr	0.28	242	Al2Au	0.36
61	AlCo3	0.39	201	Ta2Al	0.35	147	AlRu	0.28	161	Al2Pd	0.38
127	Nb3Al	0.45	172	AlAg2	0.36	158	AlRh	0.28	208	Al2W	0.51
25	AlV3	0.47	248	AlAu2	0.37	217	AlOs	0.29	97	Al2Zn	NaN
144	AlTc3	NaN	80	AlNi2	0.40	159	AlPd	0.31			55
155	AlRh3	NaN	12	Ti2Al	0.54	69	AlNi	0.31			223
169	AlPd3	NaN	26	AlV2	NaN	233	AlPt	0.32			96
170	AlAg3	NaN				245	AlAu	0.36			153
176	AlCd3	NaN				214	AlRe	0.37			167
197	Hf3Al	NaN				174	AlAg	NaN			175
244	AlAu3	NaN									177
											237
											246

Fonte: Autoria própria

Figura H-4 – DataFrames do Módulo de Volume (K_{VRH}) para os compostos binários de Al com os metais de transição nas proporções de 25%, 33%, 50%, 66% e 75% da esquerda para a direita.

pretty_formula	K_VRH										
185	La3Al	40.00	108	Y2Al	55.0	179	LaAl	53.00	180	LaAl2	55.00
101	Y3Al	49.00	3	Sc2Al	70.0	102	YAl	60.00	97	Al2Zn	74.37
176	AlCd3	51.01	12	Ti2Al	71.0	5	ScAl	63.92	100	YAl2	80.00
4	Sc3Al	52.00	172	AlAg2	94.0	50	AlFe	85.00	2	ScAl2	88.00
171	AlAg3	91.55	109	Zr2Al	100.0	174	AlAg	87.59	89	Al2Cu	90.00
121	Zr3Al	100.30	194	Hf2Al	113.0	19	TiAl	101.10	242	Al2Au	105.00
16	Ti3Al	108.40	51	AlFe2	117.0	245	AlAu	104.00	9	TiAl2	108.00
197	Hf3Al	121.00	248	AlAu2	118.0	122	ZrAl	108.00	161	Al2Pd	112.00
244	AlAu3	123.40	26	AlV2	141.3	94	AlCu	113.00	119	ZrAl2	113.00
82	AlCu3	129.00	162	AlPd2	158.0	193	HfAl	117.00	195	HfAl2	120.00
169	AlPd3	151.80	126	Nb2Al	161.0	42	MnAl	141.00	228	Al2Pt	129.00
25	AlV3	159.00	201	Ta2Al	162.0	159	AlPd	148.00	149	Al2Ru	155.00
127	Nb3Al	162.00	80	AlNi2	185.0	78	AlNi	158.00	208	Al2W	159.00
58	AlFe3	174.00	38	AlCr2	186.0	65	AlCo	179.00	219	Al2Os	191.00
76	AlNi3	177.00	238	AlPt2	205.0	233	AlPt	184.00			27
44	Mn3Al	187.00	143	AlTc2	224.0	158	AlRh	196.00			237
61	AlCo3	187.00	211	AlRe2	255.0	212	AlRe	199.40			55
155	AlRh3	200.80				147	AlRu	202.00			124
144	AlTc3	202.50				222	Allr	229.00			153
226	AlPt3	212.40				217	AlOs	236.00			202
129	AlMo3	225.00									130
											221
											141

Fonte: Autoria própria

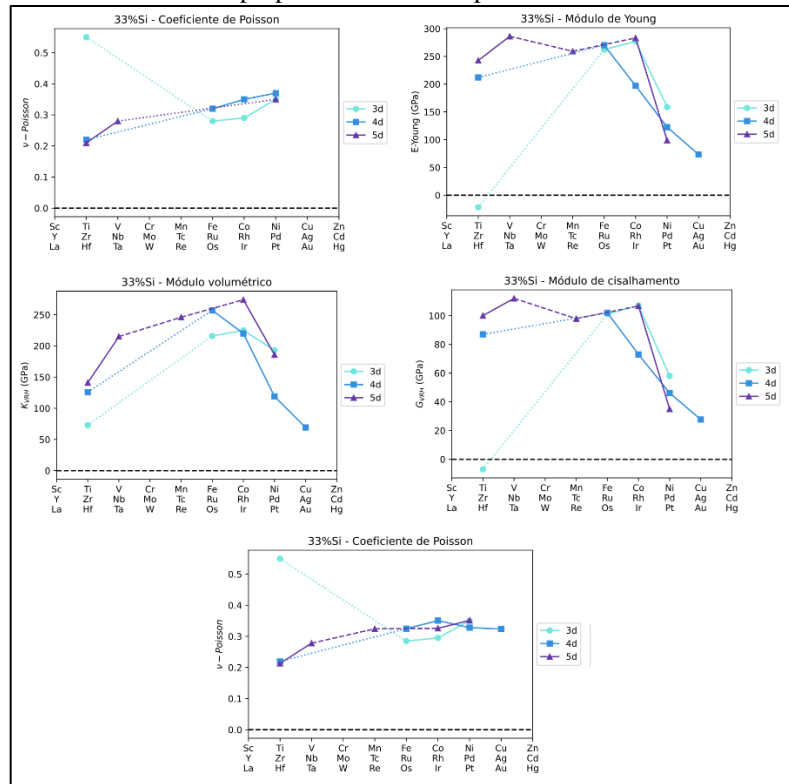
Figura H-5 – DataFrames do Módulo de Cisalhamento (G_{VRH}) para os compostos binários de Al com os metais de transição nas proporções de 25%, 33%, 50%, 66% e 75% da esquerda para a direita.

pretty_formula	G_VRH	pretty_formula	G_VRH	pretty_formula	G_VRH	pretty_formula	G_VRH	pretty_formula	G_VRH	
82	AlCu3	0.00	12	Ti2Al	-5.00	95	AlCu	-666.00	208	
25	AlV3	10.00	243	AlAu2	27.00	43	MnAl	-32.00	161	
74	AlNi3	16.00	172	AlAg2	30.00	249	AlAu	-21.00	242	
185	La3Al	18.00	108	Y2Al	30.00	231	AlPt	32.00	228	
127	Nb3Al	18.00	80	AlNi2	40.00	179	LaAl	34.00	97	
176	AlCd3	18.58	109	Zr2Al	41.00	104	YAl	35.00	83	
244	AlAu3	28.49	3	Sc2Al	44.00	174	AlAg	39.67	180	
101	Y3Al	32.00	56	AlFe2	44.00	7	ScAl	41.00	100	
20	Ti3Al	32.00	162	AlPd2	51.00	168	AlPd	52.00	2	
171	AlAg3	33.13	201	Ta2Al	54.00	214	AlRe	64.00	9	
4	Sc3Al	36.00	194	Hf2Al	56.00	19	TiAl	66.17	119	
61	AlCo3	46.00	238	AlP12	58.00	122	ZrAl	68.00	195	
197	Hf3Al	50.07	26	AlV2	79.69	69	AlNi	72.00	146	
121	Zr3Al	51.52	126	Nb2Al	82.00	193	HfAl	74.00	219	
169	AlPd3	53.01	38	AlCr2	103.00	50	AlFe	75.00		
226	AlPt3	71.91	143	AlTc2	127.00	158	AlRh	102.00		
58	AlFe3	74.00	211	AlRe2	139.00	147	AlRu	103.00		
44	Mn3Al	78.00				222	AlIr	116.00		
155	AlRh3	79.16				65	AlCo	118.00		
144	AlTc3	87.90				217	AlOs	118.00		
129	AlMo3	121.00								
								1	ScAl3	64.00
								79	Al3Ni	66.00
								153	Al3Ru	72.55
								37	Al3Cr	83.00
								141	Al3Tc	86.00
								130	Al3Mo	97.00
								202	TaAl3	104.00
								124	NbAl3	105.00

Fonte: Autoria própria

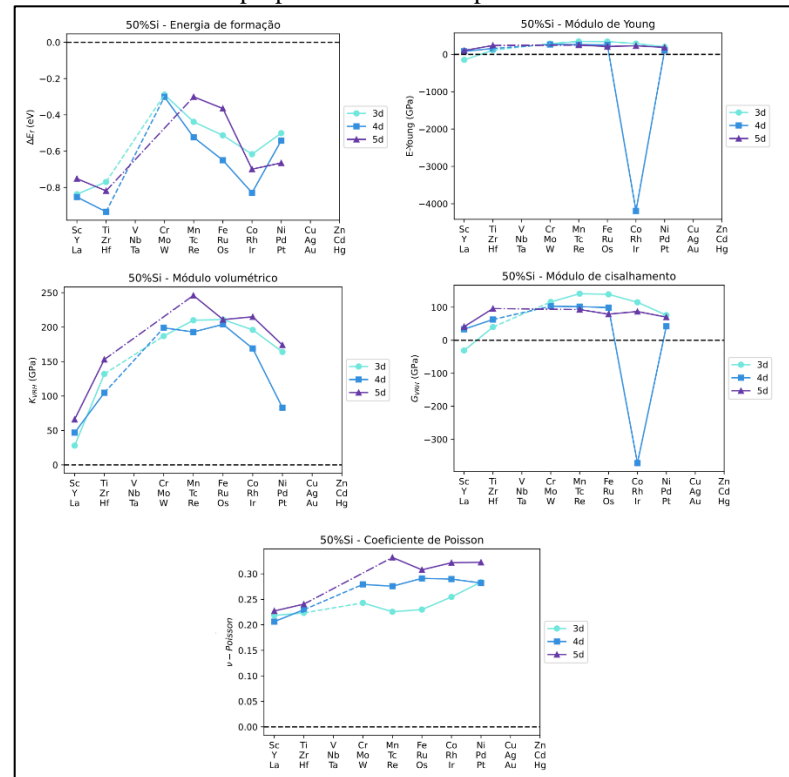
APÊNDICE I –Gráficos das propriedades por composição dos compostos binários de alumínio, boro e silício com metais de transição

Figura I-1 - Gráficos das propriedades dos compostos binários com 33% de silício

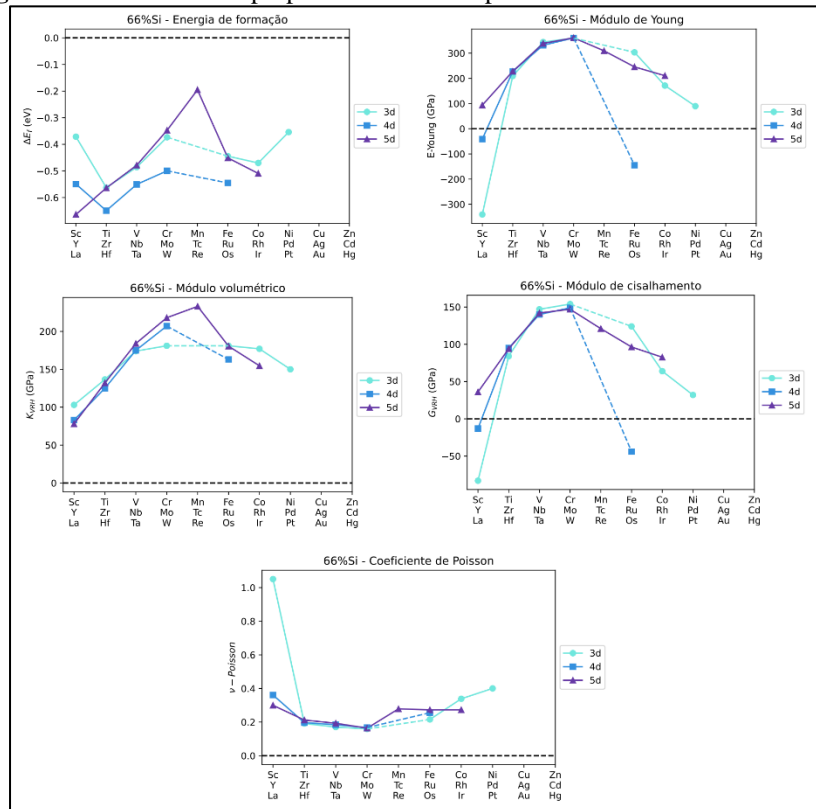


Fonte: Autoria própria

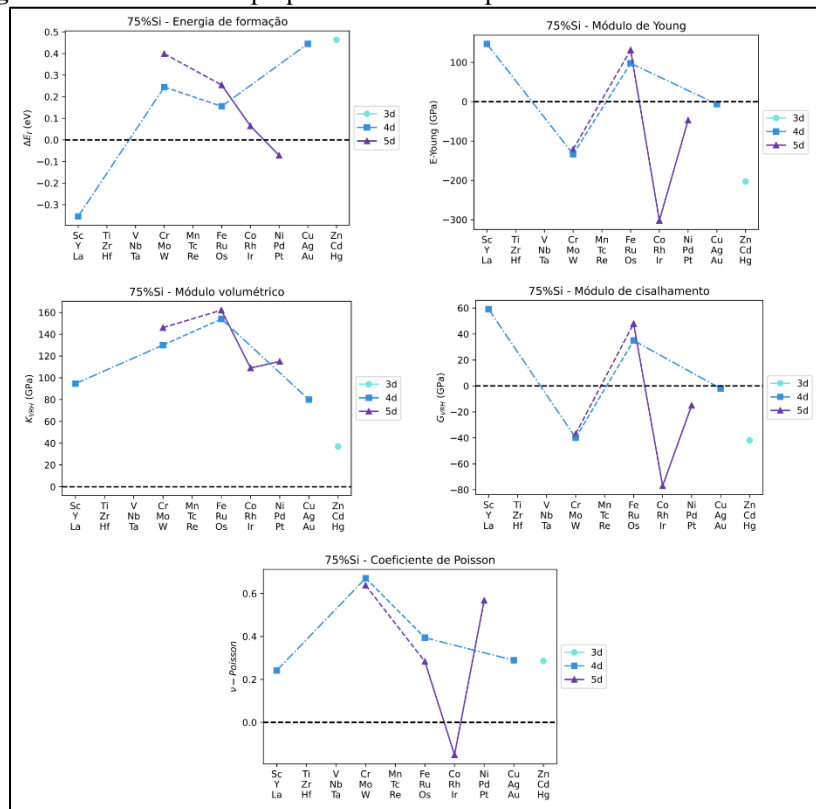
Figura I-2 - Gráficos das propriedades dos compostos binários com 50% de silício



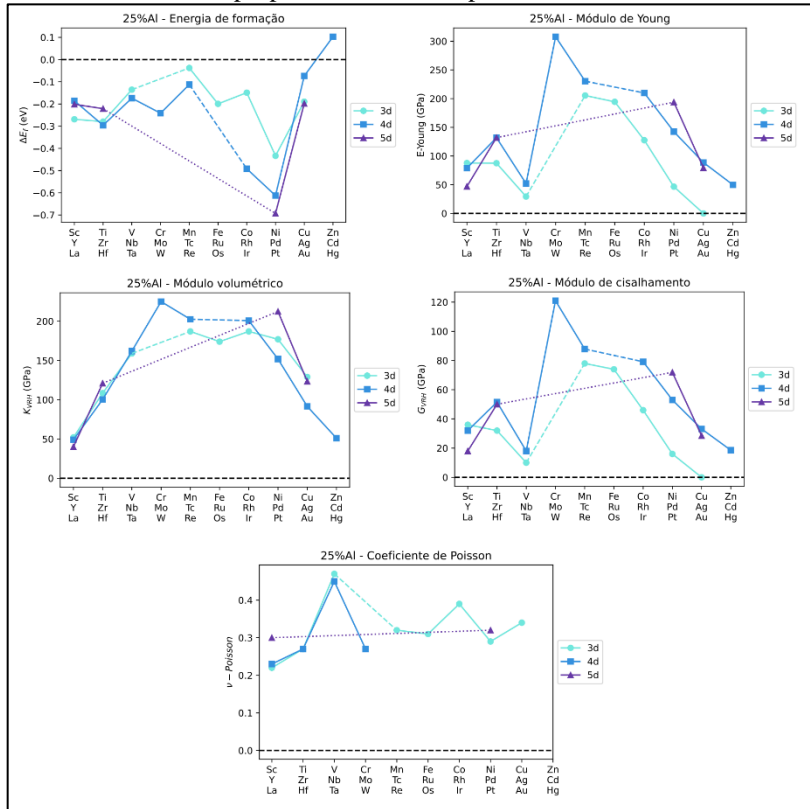
Fonte: Autoria própria

Figura I-3 - Gráficos das propriedades dos compostos binários com 66% de silício

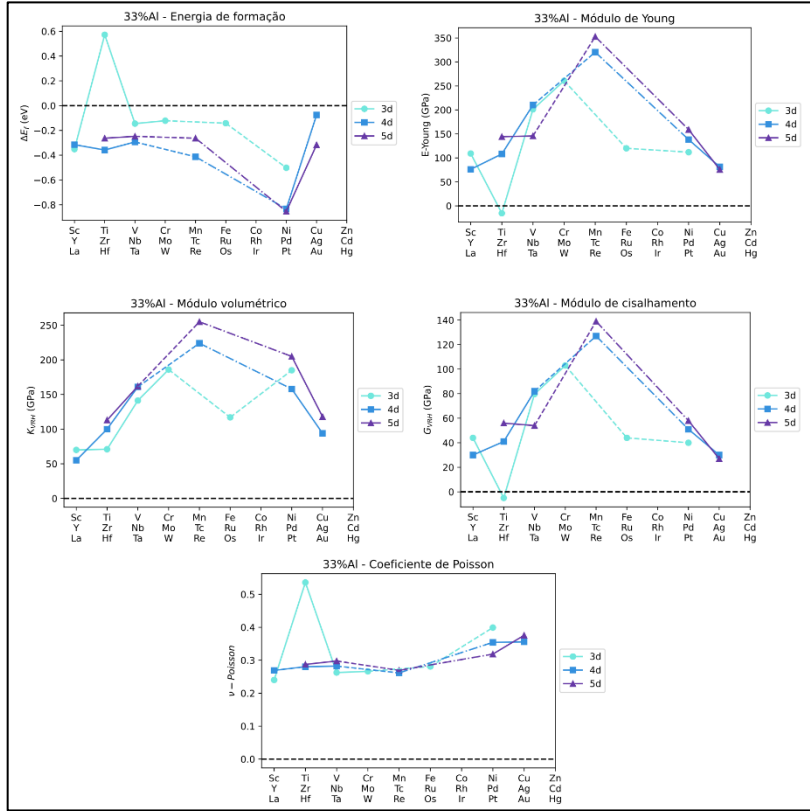
Fonte: Autoria própria

Figura I-4 - Gráficos das propriedades dos compostos binários com 75% de silício

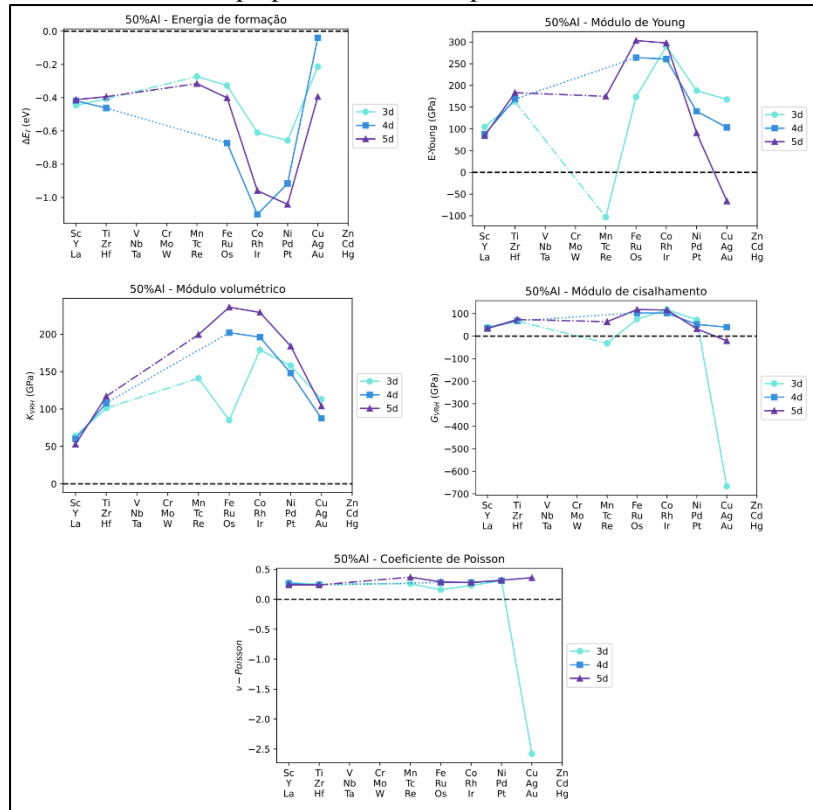
Fonte: Autoria própria

Figura I-5 - Gráficos das propriedades dos compostos binários com 25% de alumínio

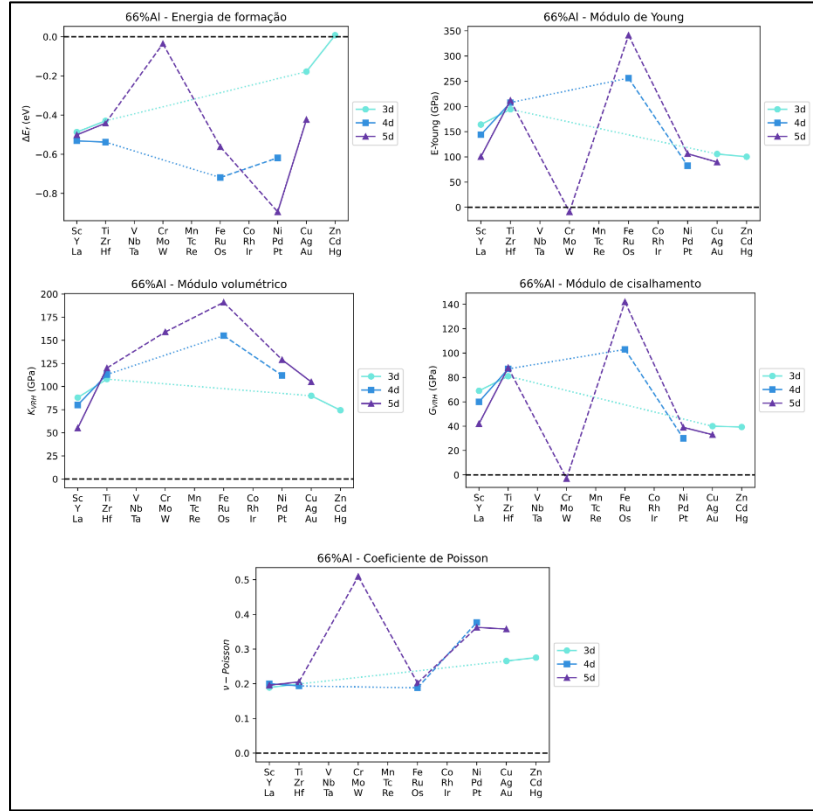
Fonte: Autoria própria

Figura I-6 - Gráficos das propriedades dos compostos binários com 33% de alumínio

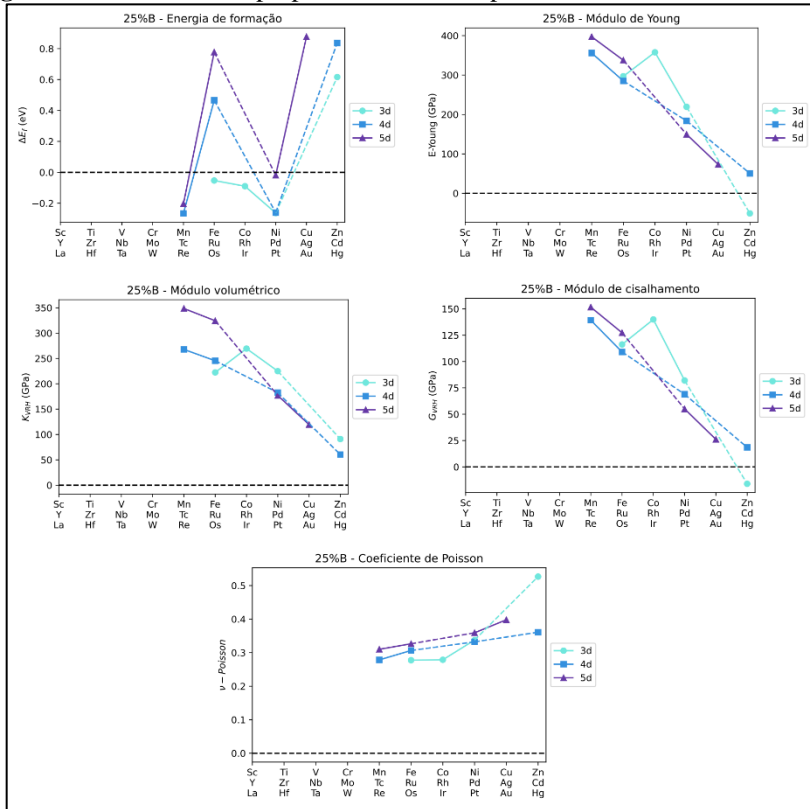
Fonte: Autoria própria

Figura I-7 - Gráficos das propriedades dos compostos binários com 50% de alumínio

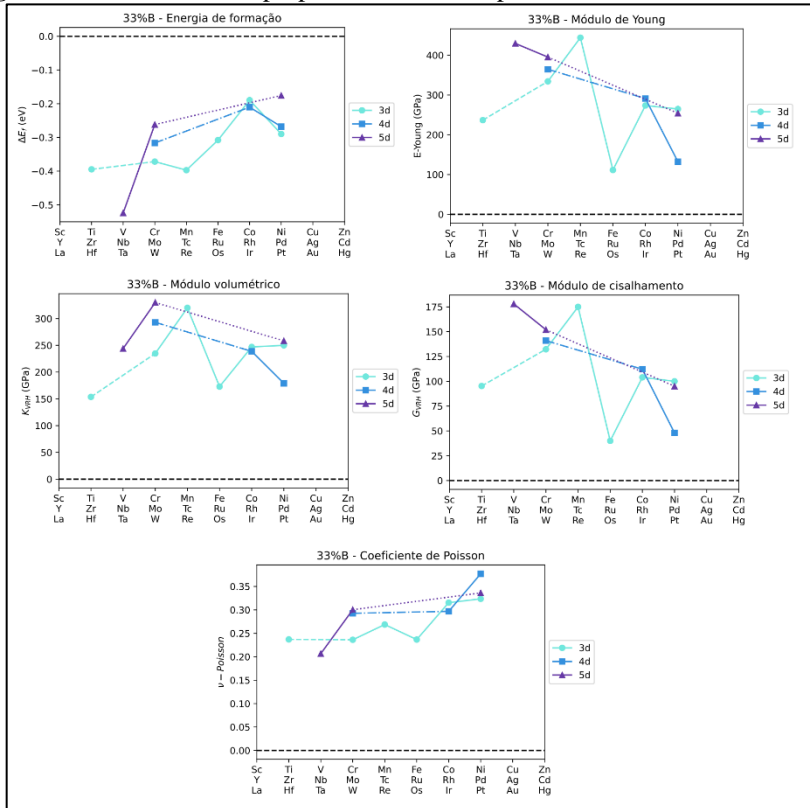
Fonte: Autoria própria

Figura I-8 - Gráficos das propriedades dos compostos binários com 66% de alumínio

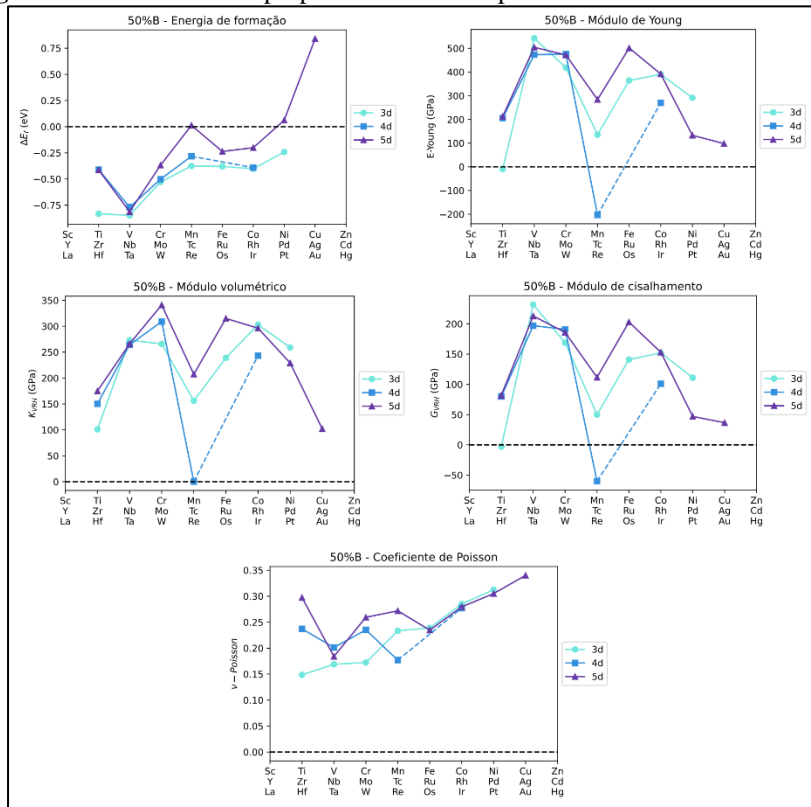
Fonte: Autoria própria

Figura I-9 - Gráficos das propriedades dos compostos binários com 25% de boro

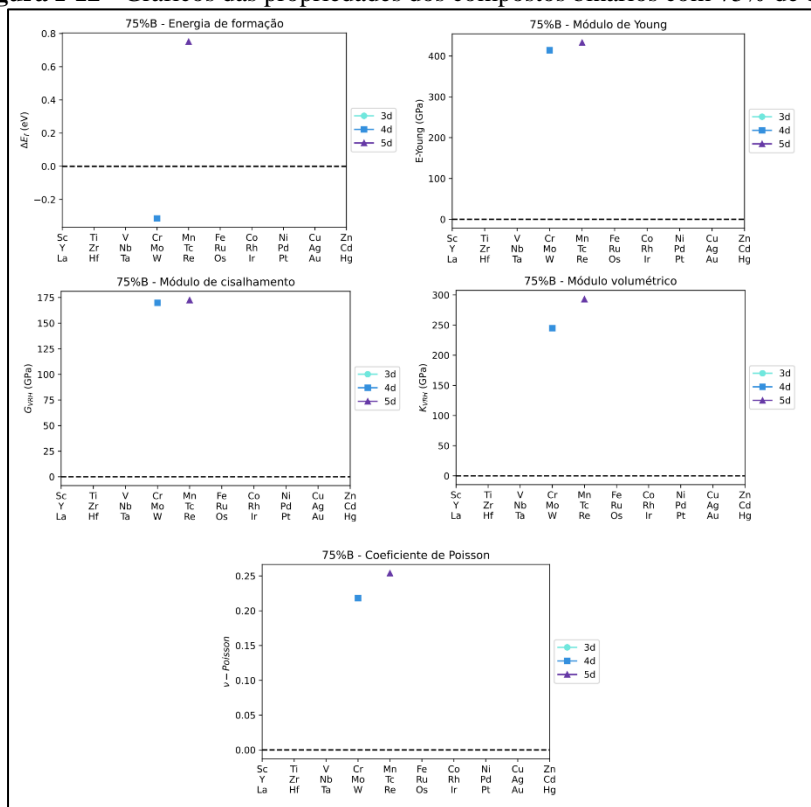
Fonte: Autoria própria

Figura I-10 - Gráficos das propriedades dos compostos binários com 33% de boro

Fonte: Autoria própria

Figura I-11 - Gráficos das propriedades dos compostos binários com 50% de boro

Fonte: Autoria própria

Figura I-12 - Gráficos das propriedades dos compostos binários com 75% de boro

Fonte: Autoria própria